

# บทที่ 5 สายอากาศแบบบ่วง

## 5.1 บทนำ

สายอากาศแบบบ่วง (Loop antenna) เป็นสายอากาศอีกประเภทหนึ่งที่มีโครงสร้างง่าย ราคาไม่แพง และใช้งานได้หลากหลาย สายอากาศบ่วงมีหลายรูปแบบ เช่น สี่เหลี่ยม สามเหลี่ยม วงรี วงกลม หรือโครงสร้างแบบอื่น ๆ นอกจากนี้ยังสามารถวิเคราะห์ง่ายและสร้างได้ง่าย โดยสายอากาศบ่วงวงกลมได้รับความนิยมและความสนใจมากที่สุด ซึ่งพบว่าบ่วงขนาดเล็ก (วงกลมหรือสี่เหลี่ยม) จะเทียบเท่ากับไดโพลแม่เหล็กที่มีแกนอยู่ในแนวตั้งฉากกับระนาบของบ่วง นั่นคือสนามที่ถูกแผ่จากบ่วงวงกลมหรือบ่วงสี่เหลี่ยมที่มีขนาดเล็กมาก ๆ จะมีรูปแบบของสมการทางคณิตศาสตร์เหมือนกับสนามที่ถูกแผ่จากไดโพลแม่เหล็ก

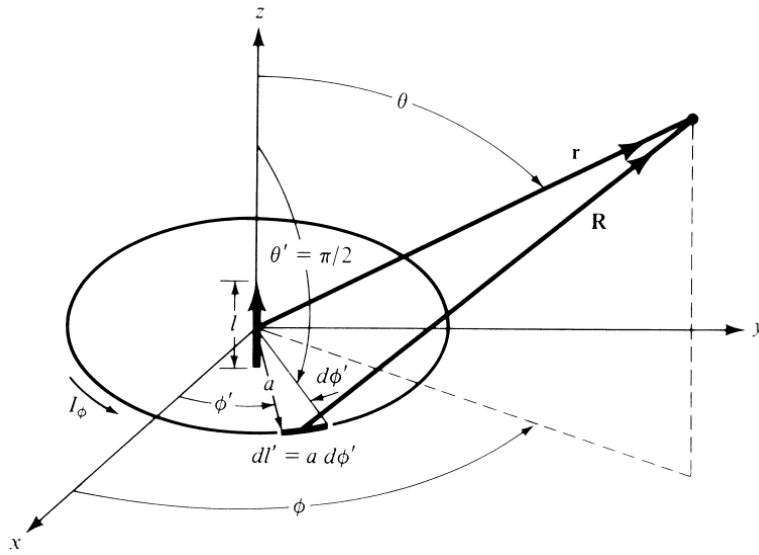
โดยทั่วไปสายอากาศแบบบ่วงสามารถแบ่งได้เป็นสองประเภท ได้แก่ บ่วงที่มีความยาวทางไฟฟ้าขนาดเล็ก และบ่วงที่มีความยาวทางไฟฟ้าขนาดใหญ่ ซึ่งความยาวทางไฟฟ้าที่สัมพันธ์กับความยาวคลื่นโดยวัดจากเส้นรอบวงของบ่วงจะเป็นตัวกำหนดประเภทของบ่วง โดยบ่วงที่มีความยาวทางไฟฟ้าของเส้นรอบวงน้อยกว่า  $0.1$  เท่าของความยาวคลื่น ( $C < 0.1\lambda$ ) จะถูกเรียกว่า บ่วงเล็ก (Small loop) และบ่วงที่มีความยาวทางไฟฟ้าของเส้นรอบวงประมาณหนึ่งความยาวคลื่น ( $C \sim \lambda$ ) จะถูกเรียกว่า บ่วงใหญ่ (Large loop) โดยส่วนใหญ่สายอากาศบ่วงมักถูกนิยมนำไปใช้ในย่านความถี่ HF (3 – 30 MHz) VHF (30 – 300 MHz) และ UHF (300 – 3,000 MHz)

## 5.2 บ่วงวงกลมเล็ก

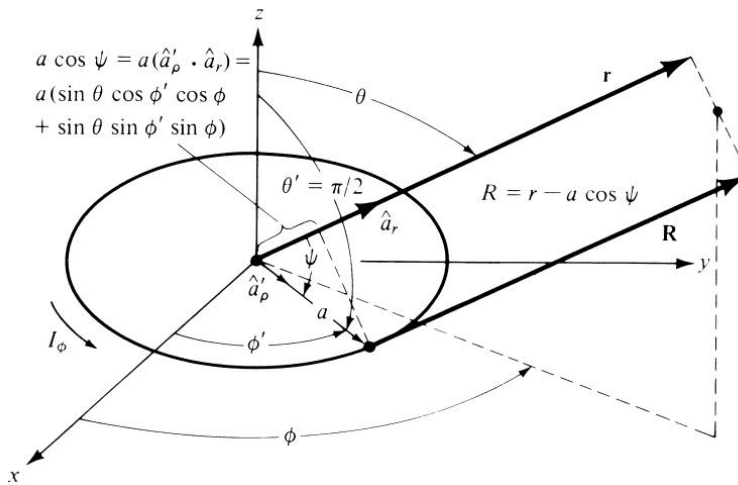
### 5.2.1 สนามที่แผ่กระจายออกจากสายอากาศ

ในการวิเคราะห์สายอากาศแบบบ่วงวงกลมเล็ก เพื่อให้ง่ายต่อการวิเคราะห์จึงได้มีการจัดวางสายอากาศในลักษณะสมมาตรกันในระนาบ  $x - y$  ที่  $z = 0$  โดยมีกระแสไหลบนบ่วงวงกลมคือ  $\mathbf{I}_e(x', y', z')$  ดังแสดงในรูปที่ 5.1(ก) ซึ่งศักย์เวกเตอร์แม่เหล็กสำหรับแหล่งกำเนิดกระแสไฟฟ้าสามารถแสดงได้คือ

$$\mathbf{A}(x, y, z) = \frac{\mu}{4\pi} \int_C \mathbf{I}_e(x', y', z') \frac{e^{-jkR}}{R} dl' \quad (5.1)$$



(ก) โครงสร้างของบ่วงวงกลม



(ข) โครงสร้างเมื่อจุดสังเกตอยู่ในสนามระยะไกล

## รูปที่ 5.1 การวางตำแหน่งของสายอากาศแบบบ่วง

ซึ่งสมการ (5.2) เป็นการอินทิเกรตบนเส้นทางของบ่วงวงกลม โดยที่  $dl'$  คือ ส่วนเล็ก ๆ เป็นบ่วงวงกลม  $R$  คือ ระยะทางจากจุดใด ๆ บนบ่วง  $(x', y', z')$  ไปยังจุดสังเกต  $(x, y, z)$  สามารถแสดงได้คือ

$$R = \sqrt{(x - x')^2 + (y - y')^2 + (z - z')^2} \quad (5.2)$$

โดยทั่วไปตำแหน่งบนบ่วงจะถูกแสดงในระบบพิกัดทรงกระบอกเนื่องจากบ่วงมีโครงสร้างเป็นเส้นโค้ง และตำแหน่งจุดสนใจจะถูกแสดงในระบบพิกัดทรงกลม จึงทำการแปลงระบบพิกัดได้คือ

$$\begin{aligned}
 x &= r \sin \theta \cos \phi \\
 y &= r \sin \theta \sin \phi \\
 z &= r \cos \theta \\
 x^2 + y^2 + z^2 &= r^2 \\
 x' &= a \cos \phi' \\
 y' &= a \sin \phi' \\
 z' &= 0
 \end{aligned} \tag{5.3}$$

ดังนั้นสมการ (5.2) สามารถลดรูปได้คือ

$$R = \sqrt{r^2 + a^2 - 2ar \sin \theta \cos(\phi - \phi')} \tag{5.4}$$

หรือประมาณได้คือ

$$R \simeq r - a \sin \theta \cos(\phi - \phi') \tag{5.5}$$

โดยการประมาณ  $R$  ในสมการ (5.5) จะถูกใช้ในเทอมของเฟสของศักย์เวกเตอร์แม่เหล็กในสมการ (5.1) แต่ในเทอมของแอมพลิจูดจะประมาณ  $R$  ด้วย  $r$  และองค์ประกอบของความยาวบนบ่วงวงกลมสามารถแสดงในระบบพิกัดทรงกระบอกได้คือ

$$dl' = ad\phi' \tag{5.6}$$

สำหรับกรณีที่บ่วงวงกลมมีเส้นรอบวงน้อยมากเมื่อเทียบกับความยาวคลื่น ดังนั้นเราสามารถสมมติให้กระแสมีค่าคงที่ตลอดความยาวบนบ่วง ซึ่งองค์ประกอบของกระแสบนบ่วงสามารถประมาณได้คือ

$$\mathbf{I}_e dl' = \mathbf{a}_\phi I_0 ad\phi' \tag{5.7}$$

และสามารถแสดงให้อยู่ในระบบพิกัดฉากได้คือ

$$\mathbf{I}_e dl' = (-\mathbf{a}_x I_0 \sin \phi' + \mathbf{a}_y I_0 \cos \phi') ad\phi' \tag{5.8}$$

เมื่อ  $I_0$  คือ แอมพลิจูดของกระแสที่มีค่าคงที่

เมื่อแทนค่ากระแสและระยะทาง  $R$  ในการประมาณย่านสนามระยะไกลในสมการศักย์เวกเตอร์แม่เหล็กในสมการ (5.1) จะได้

$$\mathbf{A}(x, y, z) = \frac{\mu}{4\pi} I_0 \frac{e^{-jkr}}{r} \int_C (-\mathbf{a}_x I_0 \sin \phi' + \mathbf{a}_y I_0 \cos \phi') e^{jka \sin \theta \cos(\phi - \phi')} ad\phi' \quad (5.9)$$

จากนั้นทำการแปลงศักย์เวกเตอร์แม่เหล็กให้อยู่ในระบบพิกัดทรงกลม ซึ่งเวกเตอร์หนึ่งหน่วย  $\mathbf{a}_x$  และ  $\mathbf{a}_y$  สามารถแสดงในระบบพิกัดทรงกลมได้คือ

$$\mathbf{a}_x = \mathbf{a}_r \sin \theta \cos \phi + \mathbf{a}_\theta \cos \theta \cos \phi - \mathbf{a}_\phi \sin \phi \quad (5.10ก)$$

$$\mathbf{a}_y = \mathbf{a}_r \sin \theta \sin \phi + \mathbf{a}_\theta \cos \theta \sin \phi + \mathbf{a}_\phi \cos \phi \quad (5.10ข)$$

แทนเวกเตอร์หนึ่งหน่วยนี้ลงในสมการ (5.9) ซึ่งจะได้องค์ประกอบของศักย์เวกเตอร์แม่เหล็กในระบบพิกัดทรงกลมคือ

$$A_r = \frac{\mu I_0 e^{-jkr}}{4\pi r} \sin \theta \int_{\phi'=0}^{2\pi} \sin(\phi - \phi') e^{jka \sin \theta \cos(\phi - \phi')} ad\phi' \quad (5.11)$$

$$A_\theta = \frac{\mu I_0 e^{-jkr}}{4\pi r} \cos \theta \int_{\phi'=0}^{2\pi} \sin(\phi - \phi') e^{jka \sin \theta \cos(\phi - \phi')} ad\phi' \quad (5.12)$$

$$A_\phi = \frac{\mu I_0 e^{-jkr}}{4\pi r} \int_{\phi'=0}^{2\pi} \cos(\phi - \phi') e^{jka \sin \theta \cos(\phi - \phi')} ad\phi' \quad (5.13)$$

เนื่องจากกระแสมีความสมมาตรที่  $\phi$  ใด ๆ จึงทำให้ศักย์เวกเตอร์แม่เหล็กมีความสมมาตรที่  $\phi$  ใด ๆ เช่นเดียวกัน ดังนั้นเพื่อความสะดวกจะเลือกค่า  $\phi$  เท่าใดก็ได้ ในที่นี้จึงเลือก  $\phi = 0$

อันดับแรกได้พิจารณาหา  $A_\phi$  ก่อน โดยแบ่งขอบเขตการอินทิเกรตออกเป็นสองส่วนคือ

$$A_\phi = \frac{a\mu I_0 e^{-jkr}}{4\pi r} \left[ \int_{\phi'=0}^{\pi} \cos(\phi') e^{jka \sin \theta \cos \phi'} d\phi' + \int_{\phi'=\pi}^{2\pi} \cos(\phi') e^{jka \sin \theta \cos \phi'} d\phi' \right] \quad (5.14)$$

โดยแทน  $\phi' = \phi'' + \pi$  ในอินทิกรัลส่วนที่สอง และใช้  $e^{j\theta} = \cos \theta + j \sin \theta$  ดังนั้นสามารถจัด  $A_\phi$  ในรูปแบบที่ง่ายได้คือ

$$A_\phi = \frac{a\mu I_0 e^{-jkr}}{4\pi r} 2j \int_{\phi'=0}^{\pi} \cos(\phi') \sin(ka \sin \theta \cos \phi') d\phi' \quad (5.15)$$

เนื่องจากเส้นรอบวงของบ่วงมีขนาดเล็กมากเมื่อเทียบกับความยาวคลื่นทำให้  $ka \ll 1$  จึงสามารถประมาณ  $\sin(ka \sin \theta \cos \phi') \simeq ka \sin \theta \cos \phi'$  ดังนั้นจะได้

$$A_\phi \simeq j \frac{\mu I_0 ka^2 \sin \theta e^{-jkr}}{4r} \quad (5.16)$$

ซึ่งเมื่อใช้คุณสมบัติของการอินทิกรัลพบว่า  $A_r$  และ  $A_\theta = 0$  (ดูในตัวอย่างที่ 5.1) เนื่องจากศักย์เวกเตอร์  $\mathbf{A}$  มีเฉพาะองค์ประกอบในทิศทาง  $\mathbf{a}_\phi$  เท่านั้น จึงทำให้องค์ประกอบของสนาม  $\mathbf{E}$  และ  $\mathbf{H}$  ในย่านสนามระยะไกลจากสมการ (3.39ก) และ (3.39ข) มีเฉพาะองค์ประกอบของ  $E_\phi$  และ  $H_\theta$  คือ

$$E_\phi = \eta \frac{a^2 k^2 I_0 e^{-jkr}}{4r} \sin \theta \quad (5.17)$$

$$H_\theta = -\frac{a^2 k^2 I_0 e^{-jkr}}{4r} \sin \theta \quad (5.18)$$

$$E_r = E_\theta = H_r = H_\phi = 0 \quad (5.19)$$

โดยแบบรูปการแผ่พลังงานของสายอากาศบ่วงขนาดเล็กจะมีค่าเป็นศูนย์ที่แกนของบ่วง ( $\theta = 0^\circ$ ) และมีค่ามากสุดในระนาบ  $\theta = 90^\circ$  โดยมีรูปแบบกำลังคล้ายกับเอิร์ตเซียนไดโพลในรูปที่ 2.3

**ตัวอย่างที่ 5.1** จงแสดงว่า  $A_r$  ที่หาได้จากสมการ (5.11) มีค่าเท่ากับศูนย์

**วิธีทำ**

เนื่องจากกระแสไม่ขึ้นอยู่กัมุม  $\phi$  จึงสามารถกำหนดค่าใด ๆ ก็ได้ในสมการ (5.11) ดังนั้นได้เลือก  $\phi = 0$  จะได้

$$I = \int_{\phi'=0}^{2\pi} \sin(-\phi') e^{jka \sin \theta \cos(-\phi')} d\phi'$$

แทนค่า  $\phi' = \psi - \pi$  จะได้

$$I = \int_{\psi=-\pi}^{\pi} \sin(\pi - \psi) e^{jka \sin \theta \cos(\pi - \psi)} d\psi$$

ทำการกระจายเทอมเอ็กโพเนนเชียลโดยใช้สมการของออยเลอร์ (Euler's formula) จะได้

$$\begin{aligned} I &= \int_{\psi=-\pi}^{\pi} \sin(\psi) \cos(ka \sin \theta \cos \psi) d\psi \\ &\quad - j \int_{\psi=-\pi}^{\pi} \sin(\psi) \sin(ka \sin \theta \cos \psi) d\psi \end{aligned}$$

$\cos(\psi)$  เป็นฟังก์ชันคู่ของ  $\psi$  ดังนั้น  $\cos(ka \sin \theta \cos \psi)$  จึงเป็นฟังก์ชันคู่ของ  $\psi$  ด้วยเช่นกัน และเนื่องจาก  $\sin(\psi)$  เป็นฟังก์ชันคี่ของ  $\psi$  ดังนั้นอินทิกรัลของเทอมแรกจะเป็นฟังก์ชันคี่ของ  $\psi$  ในทำนองเดียวกัน  $\sin(ka \sin \theta \cos \psi)$  เป็นฟังก์ชันคู่ ดังนั้นอินทิกรัลของเทอมที่สองจะเป็นฟังก์ชันคี่ของ  $\psi$  เมื่อใช้คุณสมบัติของอินทิกรัลคือ

$$\int_{-a}^a f(x) dx = 0 \quad \text{เมื่อ } f(x) \text{ เป็นฟังก์ชันคี่ของ } x$$

ดังนั้นจึงทำให้  $I = 0$  และ  $A_r = 0$

### 5.2.2 ความหนาแน่นกำลังงานและความต้านทานการแผ่พลังงาน

เมื่อเราทราบสนามไฟฟ้าและสนามแม่เหล็กจะสามารถหาพารามิเตอร์ต่าง ๆ ได้ดังที่ได้กล่าวในบทที่ 2 สำหรับกรณีสายอากาศบ่วงขนาดเล็กสามารถหาความหนาแน่นกำลังงานเชิงซ้อนได้คือ

$$\mathbf{W} = \frac{1}{2} \text{Re } \mathbf{E} \times \mathbf{H}^* = \frac{1}{2\eta} \mathbf{a}_r |E_\phi|^2 \quad (5.20)$$

แทนค่าของ ในสมการ (5.17) ลงในสมการ (5.20) จะได้

$$\mathbf{W} = W_r \mathbf{a}_r = \mathbf{a}_r \frac{\eta}{2} \left( \frac{a^2 k^2 |I_0|^2}{4r} \right) \sin^2 \theta \quad (5.21)$$

ดังนั้นความหนาแน่นกำลังงานสามารถหาได้คือ

$$U(\theta, \phi) = r^2 W_r = \frac{\eta}{2} \left( \frac{a^2 k^2 |I_0|^2}{4} \right) \sin^2 \theta \quad \text{W/sr} \quad (5.22)$$

กำลังการแผ่พลังงานทั้งหมด  $P_{rad}$  ในบทที่ 2 สามารถหาดังสมการ

$$P_{rad} = \int_{\phi=0}^{2\pi} \int_{\theta=0}^{\pi} U(\theta, \phi) \sin \theta d\theta d\phi \quad (5.23)$$

ดังนั้นเมื่อแทน  $U(\theta, \phi)$  ในสมการ (5.22) ลงในสมการ (5.23) จะได้กำลังการแผ่พลังงานของสายอากาศบ่วงขนาดเล็กคือ (ดูวิธีทำในตัวอย่างที่ 5.2 )

$$P_{rad} = 10\pi^2 a^4 k^4 |I_0|^2 \quad \text{W} \quad (5.24)$$

ความต้านทานการแผ่พลังงานสามารถหาได้จาก  $P_{rad} = |I_0|^2 R_r / 2$  ดังนั้นความต้านทานการแผ่พลังงานแสดงได้คือ

$$R_{rad} = 20\pi^2 a^4 k^4 = 20\pi^2 \left( \frac{C}{\lambda} \right)^4 \simeq 31,171 \left( \frac{S^2}{\lambda^4} \right) \quad (5.25)$$

เมื่อ  $S = \pi a^2$  คือ พื้นที่ของบ่วง และ  $C = 2\pi a$  คือ เส้นรอบวงของบ่วง โดยด้านขวาสุดของสมการ (5.25) สามารถใช้กับบ่วงโครงสร้างใดก็ได้ เช่น สี่เหลี่ยม วงรี หรืออื่น ๆ

สำหรับความต้านทานการแผ่พลังงานในสมการ (5.25) ใช้สำหรับสายอากาศบ่วงที่มีหนึ่งรอบเท่านั้น ถ้าสายอากาศบ่วงมีจำนวนขดลวด  $N$  รอบ ความต้านทานการแผ่พลังงานของบ่วงจะมีค่าเท่ากับ ความต้านทานการแผ่พลังงานของบ่วงหนึ่งรอบคูณด้วย  $N^2$  นั่นคือ

$$R_{rad} = 20\pi^2 a^4 k^4 N^2 = 20\pi^2 \left(\frac{C}{\lambda}\right)^4 N^2 \simeq 31,171 \left(\frac{S^2}{\lambda^4}\right) N^2 \quad (5.25n)$$

โดยทั่วไปความต้านทานการแผ่พลังงานของบ่วงหนึ่งรอบมีค่าน้อยมากและยากที่จะแมตช์กับแหล่งจ่าย ซึ่งสามารถเพิ่มความต้านทานการแผ่พลังงานของสายอากาศบ่วงได้โดยการเพิ่มจำนวนรอบของบ่วง

**ตัวอย่างที่ 5.2** จงพิสูจน์ที่มาของสมการ (5.24)

**วิธีทำ**

แทน  $U$  จากสมการ (5.22) ลงในสมการ (5.23) จะได้

$$P_{rad} = \int_{\phi=0}^{2\pi} \int_{\theta=0}^{\pi} \frac{\eta}{2} \left( \frac{a^2 k^2 |I_0|}{4} \right)^2 \sin^2 \theta \sin \theta d\theta d\phi$$

อินทิเกรตเทียบกับ  $\phi$  จะได้

$$P_{rad} = 2\pi \frac{\eta}{2} \left( \frac{a^2 k^2 |I_0|}{4} \right)^2 \int_{\theta=0}^{\pi} \sin^3 \theta d\theta$$

$$P_{rad} = 2\pi \frac{\eta}{2} \left( \frac{a^2 k^2 |I_0|}{4} \right)^2 \int_{\theta=0}^{\pi} \frac{1}{4} (3 \sin \theta - \sin 3\theta) d\theta$$



$$P_{rad} = 2\pi \frac{\eta}{2} \left( \frac{a^2 k^2 |I_0|}{4} \right)^2 \frac{1}{4} \left[ -3 \cos \theta + \frac{1}{3} \cos 3\theta \right]_0^\pi$$

เมื่อแทนขอบเขตและจัดรูปแบบอย่างง่ายจะได้

$$P_{rad} = 2\pi \frac{120\pi}{2} \left( \frac{a^4 k^4 |I_0|^2}{16} \right) \frac{1}{4} \frac{16}{3} = 10\pi^2 a^4 k^4 |I_0|^2$$

**ตัวอย่างที่ 5.3** จงหากำลังงานที่แผ่ออกไปจากสายอากาศบ่วงขนาดเล็กที่มีรัศมีเท่ากับ 0.5 เมตร มีกระแสไหลในบ่วง 10 A ที่ความถี่ 15 MHz ถ้าบ่วงถูกวางอย่างสมมาตรที่จุดกำเนิดในระนาบ  $x - y$  จงคำนวณหาขนาดของความเข้มสนามไฟฟ้าในระนาบ  $x - y$  ที่ระยะทาง 10 km

#### วิธีทำ

ความยาวคลื่นของคลื่นแม่เหล็กไฟฟ้าในอวกาศว่างที่ความถี่ 15 MHz สามารถหาได้คือ

$$\lambda = \frac{c}{f} = \frac{3 \times 10^8}{15 \times 10^6} = 20 \text{ m}$$

ค่าคงที่การแพร่กระจายคลื่นคือ

$$k = \frac{2\pi}{\lambda} = \frac{2\pi}{20} = \frac{\pi}{10}$$

ดังนั้นกำลังการแผ่พลังงานสามารถหาได้คือ

$$P_{rad} = 10\pi^2 a^4 k^4 |I_0|^2 = 10\pi^2 (0.5)^4 \left( \frac{\pi}{10} \right)^4 |10|^2 = 6.01 \text{ W}$$

ความเข้มสนามไฟฟ้าสามารถหาได้จากสมการ (5.17) คือ

$$\begin{aligned} |E_\phi|_{\theta=90^\circ} &= \eta \frac{a^2 k^2}{4r} I_0 = \frac{120\pi \times 0.5^2 \times \pi / 10^2 \times 10}{4 \times 10 \times 10^3} \\ &= 2.32 \text{ mV/m} \end{aligned}$$

**ตัวอย่างที่ 5.4** จงหาความต้านทานการแผ่พลังงานของบ่วงวงกลมจำนวนหนึ่งรอบและแปดรอบ ถ้ารัศมีของบ่วงเท่ากับ  $\lambda / 25$  และตัวกลางเป็นอวกาศว่าง

**วิธีทำ**

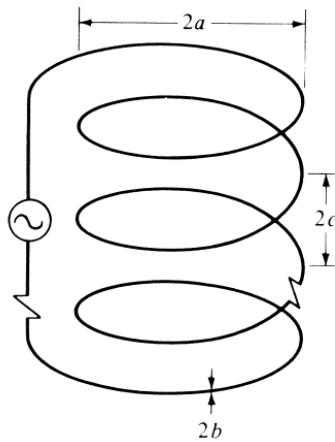
$$S = \pi a^2 = \pi \left( \frac{\lambda}{25} \right)^2 = \frac{\pi \lambda^2}{625}$$

$$R_r (1 \text{ รอบ}) \simeq 31,171 \left( \frac{S^2}{\lambda^4} \right) = 31,171 \left( \frac{\pi}{625} \right)^2 = 0.788 \quad \Omega$$

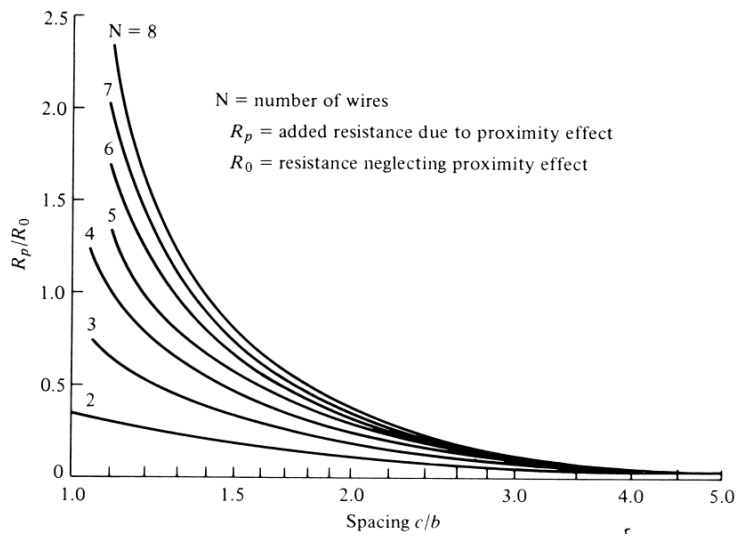
$$R_r (8 \text{ รอบ}) = 0.788(8)^2 = 50.43 \quad \Omega$$

ความต้านทานการแผ่พลังงานและความต้านทานการสูญเสียจะเป็นตัวกำหนดประสิทธิภาพการแผ่พลังงานของสายอากาศดังแสดงในสมการ (2.84) โดยทั่วไปความต้านทานการสูญเสียของบ่วงขนาดเล็กหนึ่งรอบจะมีค่ามากกว่าความต้านทานการแผ่พลังงาน จึงส่งผลให้ประสิทธิภาพการแผ่พลังงานน้อยตามไปด้วย ซึ่งประสิทธิภาพการแผ่พลังงานสามารถเพิ่มขึ้นได้ด้วยการเพิ่มจำนวนของบ่วง อย่างไรก็ตาม กระบวนการในการวิเคราะห์สายอากาศบ่วงที่มีจำนวนหลายรอบค่อนข้างซับซ้อน ดังนั้นในการหาประสิทธิภาพการแผ่พลังงานจะใช้กระบวนการที่ได้จากการวัดทดสอบ

โดยทั่วไปจะสมมติให้ความต้านทานการสูญเสียของบ่วงขนาดเล็กมีค่าเท่ากับของเส้นลวดตรงที่มีความยาวของเส้นลวดเท่ากับเส้นรอบวงของบ่วงและคำนวณได้จากสมการ (2.88) สำหรับกรณีบ่วงที่มีจำนวนขดลวดหลายรอบจะมีการกระจายของกระแสไม่คงที่ รวมทั้งจะมีผลกระทบของผิวและความใกล้ชิดกันระหว่างขดลวด



(ก) บ่วงวงกลม  $N$  รอบ



(ข) ความต้านทานโอห์มมิกเนื่องจากความใกล้ชิดกันของขดลวด

**รูปที่ 5.2** บ่วงวงกลมจำนวน  $N$  รอบ และความต้านทานโอห์มมิกเนื่องจากผลกระทบของความใกล้ชิดกันของขดลวด

สำหรับบ่วงวงกลมที่มีจำนวนขดลวดเท่ากับ  $N$  รอบ มีรัศมีของบ่วงเท่ากับ  $a$  มีรัศมีของเส้นลวดเท่ากับ  $b$  และมีระยะห่างระหว่างบ่วงเท่ากับ  $2c$  ดังแสดงในรูปที่ 5.2(ก) จะมีความต้านทานโอห์มมิก (Ohmic resistance) คือ

$$R_{ohmic} = \frac{Na}{b} R_s \left( \frac{R_p}{R_0} + 1 \right) \quad (5.26)$$

เมื่อ  $R_s = \sqrt{\frac{\omega\mu_0}{2\sigma}}$  = อิมพีแดนซ์บนผิวของตัวนำ

$R_p$  = ความต้านทานโอห์มิกต่อหน่วยความยาวเนื่องจากผลกระทบของความใกล้ชิดกันของ  
ขดลวด

$R_0 = \frac{NR_s}{2\pi b}$  = ความต้านทานจากผลกระทบของผิวโอห์มิกต่อหน่วยความยาว มีหน่วยเป็น  
โอห์ม/เมตร

โดยอัตราส่วนของ  $R_p / R_0$  เป็นฟังก์ชันของระยะห่าง  $c / b$  สำหรับบ่วงที่มีจำนวนรอบของ  
ขดลวดคือ  $2 \leq N \leq 8$  ได้ถูกแสดงในรูปที่ 5.2(ข) ซึ่งพบว่าถ้าระยะห่างระหว่างบ่วงแต่ละรอบมีค่าน้อย  
ความต้านทานโอห์มิกจะมีค่าเป็นสองเท่าเมื่อเทียบกับกรณีที่ไม่มีผลกระทบจากความชิดใกล้ของบ่วง

**ตัวอย่างที่ 5.5** จงหาประสิทธิภาพการแผ่พลังงานของบ่วงวงกลมหนึ่งรอบและแปดรอบที่  
 $f = 100$  MHz เมื่อรัศมีของบ่วงเท่ากับ  $\lambda / 25$  รัศมีของเส้นลวดเท่ากับ  $10^{-4}\lambda$  ระยะห่าง  
ระหว่างขดลวดแต่ละรอบเท่ากับ  $4 \times 10^{-4}\lambda$  สมมติให้เส้นลวดทำจากทองแดงที่มีค่าความนำไฟฟ้า  
เท่ากับ  $5.7 \times 10^7$  S/m และสายอากาศแผ่พลังงานในอวกาศว่าง

**วิธีทำ**

$$S = \pi a^2 = \pi \left( \frac{\lambda}{25} \right)^2 = \frac{\pi \lambda^2}{625}$$

$$R_r (1 \text{ รอบ}) \simeq 31,171 \left( \frac{S^2}{\lambda^4} \right) = 31,171 \left( \frac{\pi}{625} \right)^2 = 0.788 \quad \Omega$$

$$R_r (8 \text{ รอบ}) = 0.788(8)^2 = 50.43 \quad \Omega$$

ความต้านทานการสูญเสียสำหรับบ่วงหนึ่งรอบสามารถหาได้จากสมการ (2.88) คือ

$$R_L = R_{hf} = \frac{a}{b} \sqrt{\frac{\pi f \mu_0}{\sigma}} = \frac{1}{25(10^{-4})} \sqrt{\frac{\pi(10^8)(4\pi \times 10^{-7})}{5.7 \times 10^7}} = 1.053 \quad \Omega$$

และประสิทธิภาพการแผ่พลังงานสามารถหาได้จากสมการ (2.84) คือ

$$e_{cd} = \frac{R_r}{R_r + R_L} = \frac{0.788}{0.788 + 1.053} = 0.428 = 42.8\%$$

และจากรูปที่ 5.2(ข) จะได้

$$\frac{R_p}{R_0} = 0.38$$

ดังนั้นจากสมการ (5.25) จะได้ความต้านทานสำหรับบ่วงจำนวนแปดรอบคือ

$$R_L = R_{ohmic} = \frac{8}{25(10^{-4})} \sqrt{\frac{\pi(10^8)(4\pi \times 10^{-7})}{5.7 \times 10^7}} (1.38) = 11.62 \quad \Omega$$

ดังนั้น

$$e_{cd} = \frac{R_r}{R_r + R_L} = \frac{50.43}{50.43 + 11.62} = 0.813 = 81.3\%$$

### 5.2.3 ความหนาแน่นการแผ่พลังงานและสภาพเจาะจงทิศทาง

กำลังงานจริงที่ถูกแผ่พลังงานจากบ่วง ( $P_{rad}$ ) สามารถหาจากสมการ (2.54) นอกจากนี้กำลังการแผ่พลังงาน ( $P_{rad}$ ) ยังสัมพันธ์กับความหนาแน่นการแผ่พลังงานเฉลี่ย ( $W_{av}$ ) ซึ่งองค์ประกอบของความหนาแน่นการแผ่พลังงานจะมีเฉพาะในแนวรัศมีเท่านั้น ( $W_r$ ) และมีความสัมพันธ์กับความเข้มการแผ่พลังงาน ( $U$ ) คือ

$$U = r^2 W_r = \frac{\eta}{2} \left( \frac{k^2 a^2}{4} \right)^2 |I_0|^2 \sin^2 \theta = \frac{r^2}{2\eta} |E_\phi(r, \theta, \phi)|^2 \quad (5.27)$$

รูปที่ 5.3 แสดงแบบรูปนอร์มอลไลซ์ของบ่วงขนาดเล็กจากสมการ (5.27) ซึ่งพบว่าแบบรูปของบ่วงขนาดเล็กมีลักษณะเหมือนกับสายอากาศไดโพลจิว โดยมีค่าสูงสุดของแบบรูปอยู่ที่ตำแหน่ง  $\theta = \pi / 2$  และแสดงได้คือ

$$U_{\max} = U|_{\theta=\pi/2} = \frac{\eta}{2} \left( \frac{k^2 a^2}{4} \right)^2 |I_0|^2 \quad (5.28)$$

เมื่อใช้สมการ (5.28) และ (5.24) จะสามารถหาสภาพเจาะจงทิศทางของบ่วงขนาดเล็กได้คือ

$$D_0 = 4\pi \frac{U_{\max}}{P_{\text{rad}}} = \frac{3}{2} \quad (5.29)$$

พื้นที่ที่จับคลื่นได้

และพื้นที่ประสิทธิภาพสูงสุดคือ

$$A_{em} = \left( \frac{\lambda^2}{4\pi} \right) D_0 = \frac{3\lambda^2}{8\pi} \quad (5.30)$$

ซึ่งจะเห็นได้ว่าสภาพเจาะจงทิศทางและพื้นที่ประสิทธิภาพสูงสุดของสายอากาศบ่วงขนาดเล็กที่ค่าเหมือนกับสายอากาศไดโพลจิว โดยสามารถคาดการณ์ได้จากการที่มีแบบรูปการแผ่พลังงานที่เหมือนกัน

**ตัวอย่างที่ 5.6** รัศมีของบ่วงขนาดเล็กเท่ากับ  $\lambda / 25$  กระแสมีค่าคงที่ จงหาพื้นที่กายภาพของบ่วงและเปรียบเทียบกับพื้นที่ประสิทธิภาพสูงสุด

**วิธีทำ**

$$S (\text{กายภาพ}) = \pi a^2 = \pi \left( \frac{\lambda}{25} \right)^2 = \frac{\pi \lambda^2}{625} = 5.03 \times 10^{-3} \lambda^2$$

$$A_{em} = \frac{3\lambda^2}{8\pi} = 0.119\lambda^2$$

$$\frac{A_{em}}{S} = \frac{0.119\lambda^2}{5.03 \times 10^{-3} \lambda^2} = 23.66$$

ความยาวทางไฟฟ้าของบ่วงมีขนาดมากกว่าความยาวทางกายภาพประมาณ 24 เท่า

$$R_L = R_{hf} = \frac{a}{b} \sqrt{\frac{\pi f \mu_0}{\sigma}} = \frac{1}{25(10^{-4})} \sqrt{\frac{\pi(10^8)(4\pi \times 10^{-7})}{5.7 \times 10^7}} = 1.053 \, \Omega$$

#### 5.2.4. วงจรสมมูล

บ่วงขนาดเล็กมีอิมพีแดนซ์แสดงในรูปของความเหนี่ยวนำเป็นส่วนใหญ่ และวงจรสมมูลขององค์ประกอบแบบก้อน (Lumped element) แสดงในรูปที่ 5.3

##### ก. โหมดส่ง

วงจรสมมูลสำหรับอิมพีแดนซ์อินพุตเมื่อสายอากาศบ่วงถูกใช้ในโหมดส่งได้ถูกแสดงในรูปที่ 5.3 ซึ่งอิมพีแดนซ์อินพุตแสดงได้คือ

$$Z_{in} = R_{in} + jX_{in} = (R_r + R_L) + j(X_A + X_i) \quad (5.31)$$

เมื่อ

$R_r$  คือ ความต้านทานการแผ่พลังงานที่ถูกกำหนดในสมการ (5.25)

$R_L$  คือ ความต้านทานการสูญเสียของบ่วงตัวนำ

$X_A$  คือ รีแอกแตนซ์ความเหนี่ยวนำภายนอกของสายอากาศบ่วง  $= \omega L_A$

$X_i$  คือ รีแอกแตนซ์ความถี่สูงที่เกิดขึ้นภายในบ่วงตัวนำ  $= \omega L_i$

จากรูปที่ 5.4 พบว่าตัวเก็บประจุ  $C_r$  ได้ถูกต่อขนานเข้าไปในวงจรเพื่อให้สายอากาศเกิดเรโซแนนซ์ สำหรับการหาค่าความจุที่ความถี่เรโซแนนซ์นั้น สามารถหาได้จากสมการ (5.31) โดยแสดงในรูปของแอดมิตแตนซ์ (Admittance) คือ

$$Z_1 // Z_2 = \frac{1}{\frac{1}{Z_1} + \frac{1}{Z_2}}$$

$$V_1 // V_2 = V_1 + V_2$$

$$\rightarrow Y_{in} = G_{in} + jB_{in} = \frac{1}{Z_{in}} = \frac{1}{R_{in} + jX_{in}} \quad (5.32)$$

Admittance

เมื่อ

$$G_{in} = \frac{R_{in}}{R_{in}^2 + X_{in}^2} \quad (5.32ก)$$

$$B_{in} = -\frac{X_{in}}{R_{in}^2 + X_{in}^2} \rightarrow L \quad (5.32ข)$$

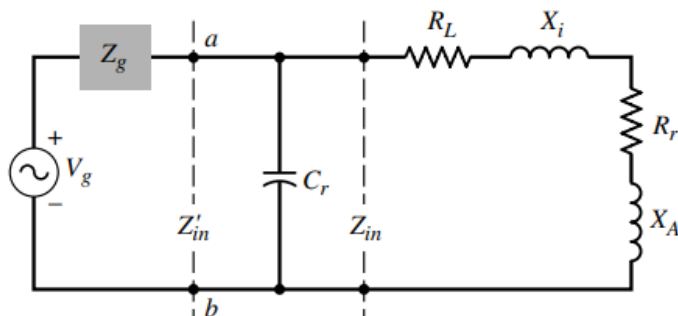
4 นัล ๑๐๐ จนาข.

เพื่อให้เกิดเรโซแนนซ์ ซีสเซพแตนซ์ (Susceptance)  $B_r$  ของตัวเก็บประจุ  $C_r$  จะต้องหักล้างกับส่วนจินตภาพคือ  $B_{in}$  ในสมการ (5.32) ซึ่งถูกแสดงในสมการ (5.32ข) ดังนั้นสามารถทำได้โดยการเลือก  $C_r$  ได้คือ

$$C_r = \frac{B_r}{2\pi f} = -\frac{B_{in}}{2\pi f} = \frac{1}{2\pi f} \frac{X_{in}}{R_{in}^2 + X_{in}^2} \quad (5.33)$$

ซึ่งอิมพีแดนซ์อินพุทที่เรโซแนนซ์มีค่าเป็น

$$Z'_{in} = R'_{in} = \frac{1}{G_{in}} = \frac{R_{in}^2 + X_{in}^2}{R_{in}} = R_{in} + \frac{X_{in}^2}{R_{in}} \quad (5.34)$$



รูปที่ 5.3 วงจรสมมูลของสายอากาศบ่วงในโหมดการส่ง



ความต้านทานการสูญเสีย  $R_L$  ของบ่วงตัวนำสามารถคำนวณหาได้ตามตัวอย่างที่ 5.5 สำหรับรีแอกแตนซ์ความเหนี่ยวนำ  $L_A$  ของบ่วงสามารถหาได้คือ

บ่วงวงกลมรัศมี  $a$  และเส้นลวดรัศมี  $b$

$$L_A = \mu_0 a \left[ \ln \left( \frac{8a}{b} \right) - 2 \right] \quad (5.35ก)$$

บ่วงสี่เหลี่ยมที่แต่ละด้านยาว  $a$  และเส้นลวดรัศมี  $b$

$$L_A = 2\mu_0 \frac{a}{\pi} \left[ \ln \left( \frac{a}{b} \right) - 0.774 \right] \quad (5.35ข)$$

รีแอกแตนซ์ภายในของบ่วงตัวนำ  $X_i$  หาได้จากความเหนี่ยวนำภายใน สำหรับบ่วงหนึ่งรอบสามารถประมาณได้คือ

$$L_i = \frac{l}{\omega P} \sqrt{\frac{\omega \mu_0}{2\sigma}} = \frac{a}{\omega b} \sqrt{\frac{\omega \mu_0}{2\sigma}} \quad (5.36)$$

เมื่อ  $l$  คือ ความยาว และ  $P$  คือ เส้นรอบวงของบ่วง

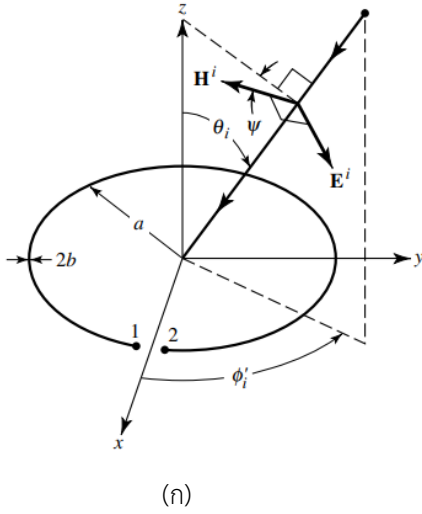
#### ข. โหมดรับ

สายอากาศบ่วงมักถูกใช้เป็นสายอากาศรับหรือเป็นโพรบสำหรับวัดความหนาแน่นฟลักซ์แม่เหล็ก รูปที่ 5.4(ก) แสดงคลื่นระนาบที่เดินทางมาตกกระทบบ่วงและเหนี่ยวนำให้เกิดแรงดันตกคร่อมที่ขั้วต่อ ซึ่งแรงดันนี้สัมพันธ์กับความยาวประสิทธิผลเวกเตอร์และสนามไฟฟ้าตกกระทบบ่วงสายอากาศ รวมทั้งยังเป็นสัดส่วนโดยตรงกับความหนาแน่นฟลักซ์ไฟฟ้าที่ตกกระทบบ่วงสายอากาศ ( $B_z^i$ ) ที่อยู่ในแนวตั้งฉากกับระนาบของบ่วง โดยแรงดันวงจรเปิดสำหรับบ่วงหนึ่งรอบสามารถเขียนได้คือ

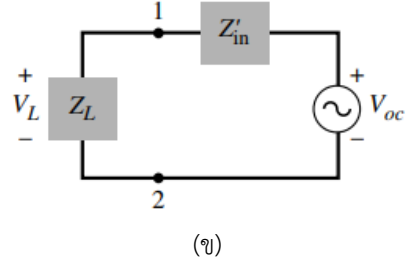
$$V_{oc} = j\omega \pi a^2 B_z^i \quad (5.37)$$

แรงดันวงจรเปิดจากสมการ (5.37) สัมพันธ์กับขนาดของสนามแม่เหล็กและสนามไฟฟ้าตกกระทบบ่วงคือ

$$V_{oc} = j\omega \pi a^2 \mu_0 H^i \cos \psi_i \sin \theta_i = jk_0 \pi a^2 E^i \cos \psi_i \sin \theta_i \quad (5.37ก)$$



(ก)



(ข)

รูปที่ 5.4 สายอากาศบ่วงและวงจรสมมูลในโหมดรับ

เมื่อ  $\psi_i$  คือ มุมระหว่างทิศทางของสนามแม่เหล็กในระนาบของคลื่นตกกระทบและระนาบของการตกกระทบดังแสดงในรูปที่ 5.4(ก)

เนื่องจากแรงดันวงจรเปิดสัมพันธ์กับความยาวประสิทธิผลเวกเตอร์ ซึ่งความยาวประสิทธิผลสำหรับบ่วงหนึ่งรอบสามารถเขียนได้คือ

$$l_e = \hat{a}_\phi l_e = \hat{a}_\phi jk_0 \pi a^2 E^i \cos \psi_i \sin \theta_i = \hat{a}_\phi jk_0 S E^i \cos \psi_i \sin \theta_i \quad (5.38)$$

เมื่อ  $S$  คือ พื้นที่ของบ่วง

เมื่ออิมพีแดนซ์ของโหลด  $Z_L$  เชื่อมต่อกับขั้วต่อเอาต์พุตของบ่วงดังแสดงในรูปที่ 5.4(ข) แรงดันที่ตกคร่อมอิมพีแดนซ์ของโหลดซึ่งสัมพันธ์กับอิมพีแดนซ์อินพุตและแรงดันวงจรเปิดในสมการ (5.37ก) คือ

$$V_L = V_{oc} \frac{Z_L}{Z'_{in} + Z_L} \quad (5.39)$$

### 5.3 บ่วงวงกลมกระแสคงที่

สายอากาศบ่วงวงกลมในรูปที่ 5.1(ข) ไม่จำเป็นที่รัศมีต้องมีขนาดเล็ก โดยยังคงพิจารณาให้กระแสบนบ่วงมีค่าคงที่ดังแสดงในสมการ (5.7) และศักย์เวกเตอร์แม่เหล็กได้ถูกกำหนดในสมการ (5.1)

อย่างไรก็ตามการอินทิเกรตของสมการ (5.1) มีความซับซ้อน จึงจำกัดขอบเขตการอินทิเกรตในย่านสนามระยะไกล ( $r \gg a$ )

การกระจายของกระแสที่มีค่าคงที่ตามแนวของเส้นรอบวงจะเป็นจริงสำหรับเส้นรอบวงของบ่วงที่มีค่าน้อยกว่า  $0.1\lambda$  (รัศมีมีค่าน้อยกว่า  $0.016\lambda$ ) ซึ่งกระบวนในการหาสนามที่ถูกแผ่ออกจากสายอากาศบ่วงในหัวข้อนี้จะเป็นการหาที่ย่านสนามระยะไกลสำหรับบ่วงที่มีขนาดใด ๆ ก็ได้และการกระจายของกระแสไม่จำเป็นต้องมีค่าคงที่

### 5.3.1 สนามที่แผ่กระจายออกจากสายอากาศ

ในการหาสนามในย่านสนามระยะไกล ระยะทาง  $R$  สามารถประมาณได้คือ

$$R = \sqrt{r^2 + a^2 - 2ar \sin \theta \cos(\phi')} \simeq \sqrt{r^2 - 2ar \sin \theta \cos(\phi')} \quad \text{สำหรับ } r \gg a \quad (5.40)$$

ซึ่งสามารถสรุปโดยใช้การขยายแบบไบนอมิยัล (Binomial expansion) ได้คือ

$$R \simeq r \sqrt{1 - \frac{2a}{r} \sin \theta \cos \phi'} = r - a \sin \theta \cos \phi' = r - a \cos \psi_0 \quad \text{ในเทอมของเฟส} \quad (5.41ก)$$

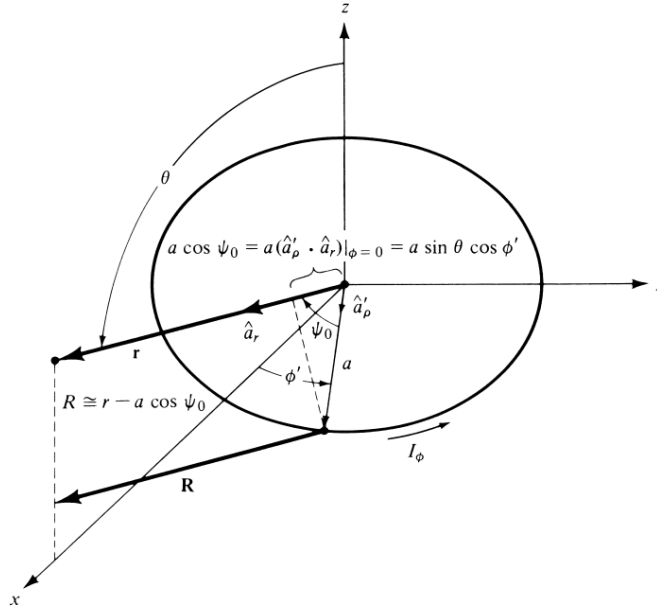
$$R \simeq r \quad \text{ในเทอมของแอมพลิจูด} \quad (5.41ข)$$

เนื่องจาก

$$\begin{aligned} \cos \psi_0 &= \hat{\mathbf{a}}_\rho \cdot \hat{\mathbf{a}}_r \Big|_{\phi=0} = \hat{\mathbf{a}}_x \cos \phi' + \hat{\mathbf{a}}_y \sin \phi' \\ &\quad \cdot \hat{\mathbf{a}}_x \sin \theta \cos \phi + \hat{\mathbf{a}}_y \sin \theta \sin \phi + \hat{\mathbf{a}}_z \cos \theta \\ &= \sin \theta \cos \phi' \end{aligned} \quad (5.42)$$

โดยความสัมพันธ์ระหว่าง  $R$  และ  $r$  สำหรับจุดสังเกตที่มุม  $\phi$  ใด ๆ ในย่านสนามระยะไกลได้ถูกแสดงในรูปที่ 5.1(ข) สำหรับจุดสังเกตที่  $\phi = 0$  แสดงในรูปที่ 5.5 ดังนั้นศักย์เวกเตอร์แม่เหล็กสำหรับองค์ประกอบในทิศทาง  $\phi$  ในสมการ (5.13) สามารถแสดงในรูปแบบอย่างง่ายคือ

$$A_\phi = \frac{a\mu I_0 e^{-jkr}}{4\pi r} \left[ \int_{\phi'=0}^{\pi} \cos(\phi') e^{jka \sin \theta \cos \phi'} d\phi' + \int_{\phi'=\pi}^{2\pi} \cos(\phi') e^{jka \sin \theta \cos \phi'} d\phi' \right] \quad (5.43)$$



รูปที่ 5.5 โครงสร้างของสายอากาศบ่วงสำหรับการวิเคราะห์ในย่านสนามระยะไกล

เทอมที่สองในวงเล็บสามารถเขียนได้ด้วยการเปลี่ยนตัวแปรให้อยู่ในรูป

$$\phi' = \phi'' + \pi \quad (5.44)$$

ดังนั้นสมการ (5.43) สามารถเขียนใหม่ได้คือ

$$A_\phi = \frac{a\mu I_0 e^{-jkr}}{4\pi r} \left[ \int_{\phi'=0}^{\pi} \cos(\phi') e^{jka \sin \theta \cos \phi'} d\phi' - \int_{\phi''=0}^{\pi} \cos(\phi'') e^{jka \sin \theta \cos \phi''} d\phi'' \right] \quad (5.45)$$

การอินทิเกรตของสมการ (5.45) สามารถถูกอินทิเกรตได้คือ (ดูได้ที่ภาคผนวก 4 ของหนังสือ Antenna Theory: Analysis and Design ของ Balanis)

$$\int_0^{\pi} \cos(n\phi) e^{+jz \cos \phi} d\phi = \pi j J_n(z) \quad (5.46)$$

เมื่อ  $J_n(z)$  คือ ฟังก์ชันเบสเซล (Bessel function) ชนิดที่หนึ่งลำดับที่  $n$  ดังนั้นเมื่อใช้สมการ (5.46) สามารถลดรูปสมการ (5.45) ได้คือ

$$A_\phi \simeq \frac{a\mu I_0 e^{-jkr}}{4\pi r} \left[ \pi j J_1(ka \sin \theta) - \pi j J_1(-ka \sin \theta) \right] \quad (5.47)$$

เบสเซลชนิดที่หนึ่งและลำดับที่  $n$  ได้ถูกกำหนดโดยอนุกรมไม่จำกัด (ดูได้ที่ภาคผนวก 4 ของหนังสือ Antenna Theory: Analysis and Design ของ Balanis) คือ

$$J_n(z) = \sum_{m=0}^{\infty} \frac{(-1)^m (z/2)^{n+2m}}{m!(m+n)!} \quad (5.48)$$

โดยที่

$$J_n(-z) = (-1)^n J_n(z) \quad (5.49)$$

สำหรับ  $n = 1$  จะได้

$$J_n(-z) = -J_n(z) \quad (5.50)$$

จากสมการ (5.50) สามารถเขียนสมการ (5.47) ได้เป็น

$$A_\phi \simeq j \frac{a\mu I_0 e^{-jkr}}{2r} J_1(ka \sin \theta) \quad (5.51)$$

ต่อมาสามารถหาสนาม  $\mathbf{E}$  และ  $\mathbf{H}$  ที่สัมพันธ์กับศักย์เวกเตอร์แม่เหล็กในสมการ (5.51) เนื่องจากสมการ (5.51) ใช้ได้เฉพาะกับย่านสนามระยะไกลเท่านั้น โดยกระบวนการหาสนามแม่เหล็กไฟฟ้าโดยใช้ศักย์เวกเตอร์ในย่านสนามระยะไกลได้ถูกกล่าวในหัวข้อที่ 3.4 จากการใช้สมการ (3.39ก) และ (3.39ข) ซึ่งจะได้

$$E_r \simeq E_\theta = 0 \quad (5.52ก)$$

$$E_\phi \simeq \frac{ak\eta I_0 e^{-jkr}}{2r} J_1(ka \sin \theta) \quad (5.52ข)$$

$$H_r \simeq H_\phi = 0 \quad (5.52ค)$$

$$H_\theta \simeq -\frac{E_\phi}{\eta} = -\frac{akI_0 e^{-jkr}}{2r} J_1(ka \sin \theta) \quad (5.52ง)$$

### 5.3.2 ความหนาแน่นกำลังงาน ความเข้มการแผ่พลังงาน ความต้านทานการแผ่พลังงาน และสภาพเจาะจงทิศทาง

จากความหนาแน่นกำลังเฉลี่ยทางเวลาคือ

$$\mathbf{W}_{av} = \frac{1}{2} \text{Re}[\mathbf{E} \times \mathbf{H}^*] = \frac{1}{2} \text{Re}[\hat{\mathbf{a}}_\phi E_\phi + \hat{\mathbf{a}}_\theta H_\theta^*] = \hat{\mathbf{a}}_r \frac{1}{2\eta} |E_\phi|^2 \quad (5.53)$$

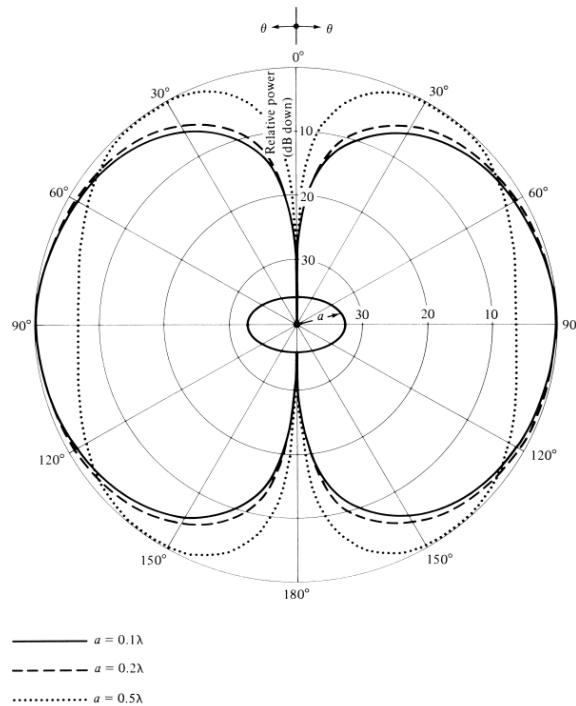
เมื่อแทนสมการ (5.52ข) ลงในสมการ (5.53) จะได้

$$\mathbf{W}_{av} = \hat{\mathbf{a}}_r \frac{(a\omega\mu)^2 |I_0|^2}{8\eta r^2} J_1^2(ka \sin \theta) \quad (5.54)$$

ซึ่งสามารถหาความเข้มการแผ่พลังงานได้คือ

$$U = r^2 W_r = \frac{(a\omega\mu)^2 |I_0|^2}{8\eta} J_1^2(ka \sin \theta) \quad (5.55)$$

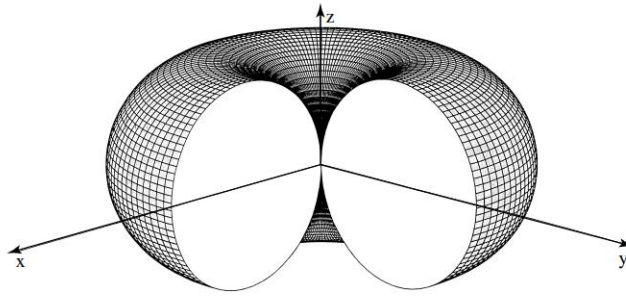
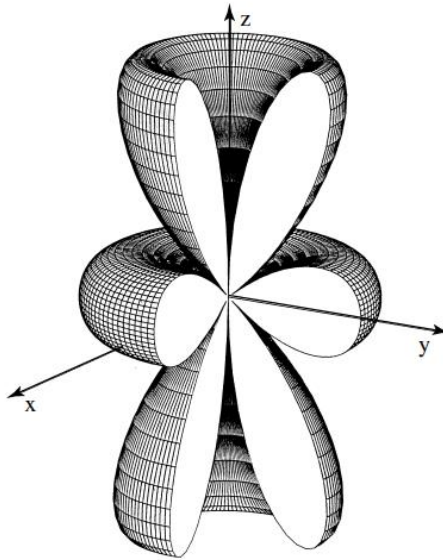
แบบรูปการแผ่พลังงานสำหรับรัศมีของบ่วงคือ  $a = \lambda/10$ ,  $\lambda/5$  และ  $\lambda/2$  ได้ถูกแสดงในรูปที่ 5.6 จากรูปแสดงให้เห็นว่าสนามที่ได้ถูกแผ่ออกจากบ่วงในทิศทางแนวแกนของบ่วง ( $\theta = 0^\circ$ ) มีค่าเป็นศูนย์ โดยรูปร่างของแบบรูปจะมีลักษณะคล้ายกับสายอากาศไดโพลที่มีความยาว  $l \leq \lambda$  (มีรูปร่างเป็นเลขแปด) ซึ่งถ้ารัศมีของบ่วงมีค่ามากกว่า  $0.5\lambda$  ความเข้มสนามบนระนาบของบ่วง ( $\theta = 90^\circ$ ) จะมีค่าลดลงและในที่สุดจะกลายเป็นศูนย์เมื่อ  $a \simeq 0.61\lambda$  แต่เมื่อ  $a > 0.61\lambda$  แบบรูปบนระนาบของบ่วงจะเริ่มชัดเจนขึ้นและเริ่มมีหลายพู



รูปที่ 5.6 แบบรูปแอมพลิจูดในระนาบมุมยกสำหรับบ่วงวงกลมที่มีการกระจายของกระแสที่

แบบรูปสามมิติของสายอากาศบ่วงที่มีเส้นรอบวงคือ  $C = 0.1\lambda$  และ  $5\lambda$  เมื่อสมมติให้การกระจายของกระแสบนบ่วงมีค่าคงที่ได้ถูกแสดงในรูปที่ 5.7 ซึ่งจากรูปจะเห็นได้ว่าสำหรับบ่วงที่มีเส้นรอบวง  $0.1\lambda$  จะมีแบบรูปเป็นรูปเลขแปด ( $\sin \theta$ ) ในขณะที่บ่วงที่มีเส้นรอบวง  $5\lambda$  แบบรูปจะมีหลายพู ซึ่งแบบรูปที่มีลักษณะเป็นหลายพูนี้อาจเกิดกับบ่วงขนาดใหญ่ที่มีเส้นรอบวงมากกว่า  $3.83\lambda$  (รัศมีมากกว่า  $0.61\lambda$ )

นอกจากนี้ยังพบว่าถ้าบ่วงมีเส้นรอบวงประมาณหนึ่งความยาวคลื่น ( $C \simeq \lambda$ ) การแผ่พลังงานสูงสุดของบ่วงเมื่อการกระจายของกระแสบนบ่วงไม่คงที่จะอยู่ในแนวแกนของบ่วง ( $\theta = 0^\circ, 180^\circ$ ) นั่นคือการแผ่พลังงานสูงสุดจะอยู่ในแนวตั้งฉากกับระนาบของบ่วง จากการแผ่พลังงานในรูปแบบนี้ บ่วงวงกลมจึงถูกนำไปใช้ในออกแบบเป็นองค์ประกอบหนึ่งของสายอากาศยาคี-ฮูตตะ แบบอาร์เรย์ เช่น ตัวบ่อนสัญญาณ ไคเร็กเตอร์ และตัวสะท้อน นอกจากนี้บ่วงวงกลมที่มีเส้นรอบวงหนึ่งความยาวคลื่นยังถูกนำไปประยุกต์ใช้งานในหลายด้านและยังเป็นสายอากาศบ่วงพื้นฐานเช่นเดียวกับสายอากาศไดโพลความยาวครึ่งความยาวคลื่น

(ก)  $C = 0.1\lambda$ (ข)  $C = 5\lambda$ 

รูปที่ 5.7 แบบรูปแอมพลิจูดสามมิติของบ่วงวงกลมที่มีการกระจายของกระแสที่

ความหนาแน่นการแผ่พลังงานสามารถเขียนได้คือ

$$P_{rad} = \iint_S \mathbf{w}_{av} \cdot d\mathbf{S} = \frac{\pi(a\omega\mu)^2 |I_0|^2}{4\eta} \int_0^\pi J_1^2(ka \sin \theta) \sin \theta d\theta \quad (5.56)$$

การอินทิกรัลสมการ (5.56) สามารถเขียนได้คือ

$$\int_0^\pi J_1^2(ka \sin \theta) \sin \theta d\theta = \frac{1}{ka} \int_0^{2ka} J_2(x) dx \quad (5.57)$$



(ก) การประมาณสำหรับบ่วงขนาดใหญ่ ( $a \geq \lambda / 2$ )

การหาคำตอบของสมการ (5.56) จะใช้การประมาณสำหรับบ่วงขนาดใหญ่ ( $a \geq \lambda / 2$ ) ซึ่งประมาณได้คือ

$$\int_0^\pi J_1^2(ka \sin \theta) \sin \theta d\theta = \frac{1}{ka} \int_0^{2ka} J_2(x) dx \simeq \frac{1}{ka} \quad (5.58)$$

จะให้ความหนาแน่นการแผ่พลังงานคือ

$$P_{rad} \simeq \frac{\pi(a\omega\mu)^2 |I_0|^2}{4\eta(ka)} \quad (5.59)$$

ความเข้มการแผ่พลังงานสูงสุดเกิดขึ้นเมื่อ  $ka \sin \theta = 1.84$  นั่นคือ

$$U|_{\max} = \frac{(a\omega\mu)^2 |I_0|^2}{8\eta} J_1^2(ka \sin \theta) \Big|_{ka \sin \theta = 1.84} = \frac{(a\omega\mu)^2 |I_0|^2}{8\eta} (0.582)^2 \quad (5.60)$$

ดังนั้น

$$R_{rad} = \frac{2P_{rad}}{|I_0|^2} = \frac{2\pi(a\omega\mu)^2}{4\eta(ka)} = \eta \left( \frac{\pi}{2} \right) ka = 60\pi^2(ka) = 60\pi^2 \left( \frac{C}{\lambda} \right) \quad (5.61)$$

$$D_0 = 4\pi \frac{U_{\max}}{P_{rad}} = 4\pi \frac{ka(0.582)^2}{2\pi} = 2ka(0.582)^2 = 0.677 \left( \frac{C}{\lambda} \right) \quad (5.62)$$

$$A_{em} = \frac{\lambda^2}{4\pi} D_0 = \frac{\lambda^2}{4\pi} 0.677 \left( \frac{C}{\lambda} \right) = 5.39 \times 10^2 \lambda C \quad (5.63)$$

เมื่อ  $C$  (เส้นรอบวง)  $= 2\pi a$  และ  $\eta \simeq 120\pi$

(ข) การประมาณสำหรับช่วงขนาดกลาง ( $\lambda / 6\pi \leq a \leq \lambda / 2$ )

ถ้ารัศมีของบ่วงคือ  $\lambda / (6\pi) = 0.053\lambda \leq a < \lambda / 2$  สามารถประมาณความต้านทานการแผ่พลังงานและสภาพเจาะจงทิศทางได้คือ

$$R_{rad} = \frac{2P_{rad}}{|I_0|^2} = \eta\pi(ka)^2 Q_{11}^{(1)}(ka) \quad (5.64ก)$$

$$D_0 = \frac{4\pi U_{max}}{P_{rad}} = \frac{F_m(ka)}{Q_{11}^{(1)}(ka)} \quad (5.65ข)$$

เมื่อ

$$F_m(ka) = J_1^2(ka \sin \theta) \Big|_{\max} = \begin{cases} J_1^2(1.840) = (0.582)^2 = 0.339 \\ ka > 1.840 \quad (a > 0.293\lambda) \\ J_1^2(ka) \\ ka < 1.840 \quad (a < 0.293\lambda) \end{cases} \quad (5.66ค)$$

(ค) การประมาณสำหรับช่วงขนาดเล็ก ( $a < \lambda / 6\pi$ )

ถ้ารัศมีของบ่วงน้อย ( $a < \lambda / 6\pi$ ) สนามแม่เหล็กไฟฟ้าสามารถหาได้จากสมการ (5.52ก) – (5.52ง) โดยฟังก์ชันเบสเซล  $J_1(ka \sin \theta)$  สามารถแสดงในรูปของอนุกรมไม่จำกัดคือ

$$J_1(ka \sin \theta) = \frac{1}{2}(ka \sin \theta) - \frac{1}{16}(ka \sin \theta)^3 + \dots \quad (5.67)$$

ถ้า  $ka$  มีค่าน้อย ( $ka < \frac{1}{3}$ ) สมการ (5.56) สามารถประมาณได้คือ

$$J_1(ka \sin \theta) \simeq \frac{1}{2}(ka \sin \theta) \quad (5.67ก)$$

ดังนั้นสมการ (5.52ก) – (5.52ง) สามารถเขียนใหม่ได้คือ

$$E_r \simeq E_\theta = 0 \quad (5.68ก)$$

$$E_\phi \simeq \frac{a^2 \omega \mu k I_0 e^{-jkr}}{4r} \sin \theta = \eta \frac{a^2 k^2 I_0 e^{-jkr}}{4r} \sin \theta \quad (5.68ข)$$

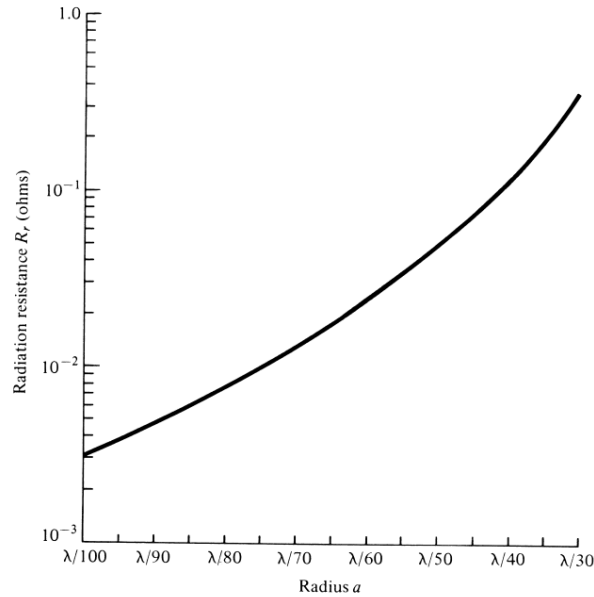
$$H_r \simeq H_\phi = 0 \quad (5.68ค)$$

$$H_\theta \simeq -\frac{a^2 \omega \mu k I_0 e^{-jkr}}{4\eta r} \sin \theta = -\frac{a^2 k^2 I_0 e^{-jkr}}{4r} \sin \theta \quad (5.68ง)$$

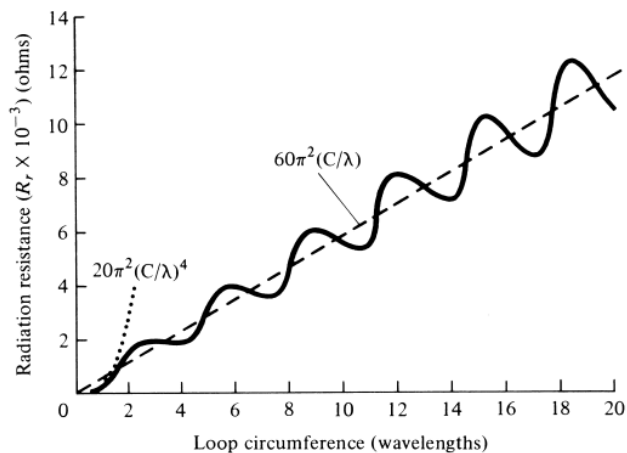
โดยความต้านทานการแผ่พลังงาน ความเข้มการแผ่พลังงาน สภาพเจาะจงทิศทาง และพื้นที่ประสิทธิภาพสูงสุดยังคงใช้สมการ (5.25) (5.26) (5.29) และ (5.30) ตามลำดับ

รูปที่ 5.8 แสดงการเปลี่ยนแปลงของความต้านทานการแผ่พลังงานที่เป็นฟังก์ชันกับรัศมีของบ่วง ที่มีค่าอยู่ระหว่าง  $\lambda / 100 \leq a \leq \lambda / 30$  โดยใช้การประมาณจากสมการ (5.67ก) ซึ่งจะเห็นได้ว่าค่าความต้านทานการแผ่พลังงานมีค่าน้อยมาก (น้อยกว่า 1 โอห์ม) และโดยทั่วไปจะมีค่าน้อยกว่าความต้านทานการสูญเสียของเส้นลวด ดังนั้นเมื่อนำสายอากาศบ่วงที่มีค่าความต้านทานการแผ่พลังงานต่ำไปต่อกับสายนำสัญญาณในทางปฏิบัติที่มีค่าอิมพีแดนซ์คุณลักษณะเท่ากับ 50 โอห์ม หรือ 75 โอห์ม จะเกิดความไม่แมตช์เป็นอย่างมากระหว่างสายอากาศบ่วงและสายนำสัญญาณ แต่จะสามารถเพิ่มค่าความต้านทานการแผ่พลังงานได้โดยการเพิ่มจำนวนรอบของบ่วงดังแสดงในสมการ (5.25) อย่างไรก็ตามการเพิ่มจำนวนรอบของบ่วงส่งผลให้ค่าความต้านทานการสูญเสียมีค่าสูงขึ้นจึงทำให้สายอากาศมีประสิทธิภาพลดลง รูปที่ 5.9 แสดงการพล็อตค่าความต้านทานการแผ่พลังงานสำหรับ  $0 < ka = C / \lambda < 20$  จากสมการ (5.57) โดยใช้การคำนวณด้วยเทคนิคเชิงตัวเลข เมื่อเส้นประแสดงค่าความต้านทานการแผ่พลังงานจากการประมาณของบ่วงขนาดใหญ่ในสมการ (5.58) และเส้นแบบจุดแสดงค่าความต้านทานการแผ่พลังงานจากการประมาณของบ่วงขนาดเล็กในสมการ (5.67ก)

เนื่องจากอิมพีแดนซ์อินพุตจะมีทั้งส่วนจริงและส่วนจินตภาพ สายอากาศจะมีการแมตช์อิมพีแดนซ์ที่ดีกับสายนำสัญญาณถ้าส่วนจริงของสายอากาศมีค่าเท่ากับส่วนจริงของอิมพีแดนซ์คุณลักษณะของสายนำสัญญาณที่ไม่มีการสูญเสีย ดังนั้นส่วนจินตภาพจะทำให้เกิดความไม่แมตช์เกิดขึ้น อย่างไรก็ตามสามารถลดส่วนจินตภาพลงได้ด้วยการต่อองค์ประกอบรีแอคทีฟ (ตัวเหนี่ยวนำหรือตัวเก็บประจุ) คร่อมที่ขั้วของบ่วงเพื่อให้สายอากาศเกิดเรโซแนนซ์ที่ความถี่ที่ต้องการ

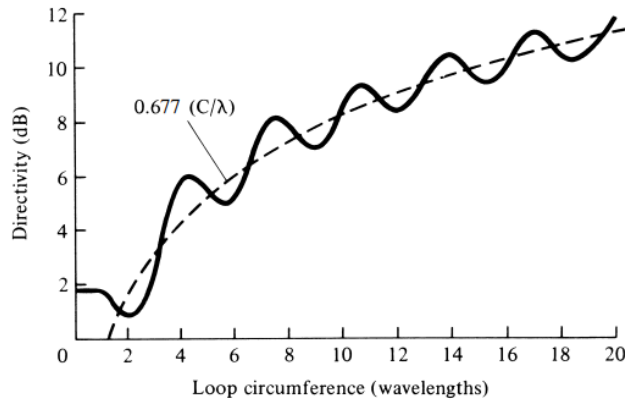


รูปที่ 5.8 ความต้านทานการแผ่พลังงานของบ่วงวงกลมที่มีกระแสคงที่โดยใช้การประมาณจากสมการ (5.67ก) (ภาพจาก C. A. Balanis, Antenna Theory: Analysis and Design)



(ก) ความต้านทานการแผ่พลังงานสำหรับบ่วงวงกลม

รูปที่ 5.9 ความต้านทานการแผ่พลังงานและสภาพเจาะจงทิศทางของบ่วงวงกลมที่มีกระแสคงที่ (ภาพจาก C. A. Balanis, Antenna Theory: Analysis and Design)



(ข) สภาพเจาะจงทิศทางของบ่วงวงกลม

รูปที่ 5.9 ต่อ

#### 5.4 บ่วงวงกลมกระแสไม่คงที่

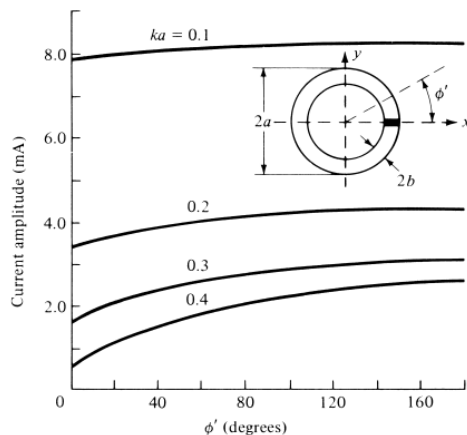
การวิเคราะห์สายอากาศบ่วงในหัวข้อที่ผ่านมาอยู่บนพื้นฐานของการกระจายกระแสบนบ่วงมีค่าคงที่ ซึ่งการประมาณนี้มีความถูกต้องก็ต่อเมื่อรัศมีของบ่วงมีความยาวทางไฟฟ้า น้อยมาก (โดยทั่วไป  $a < 0.016\lambda$ ) ดังนั้นถ้าขนาดของบ่วงเพิ่มขึ้น ควรพิจารณาการกระจายของกระแสบนเส้นรอบวงของบ่วงให้เหมาะสม ซึ่งการประมาณการกระจายของกระแสบนบ่วงที่ดีสามารถแสดงอยู่รูปอนุกรมฟูเรียร์คือ

$$I(\phi') = I_0 + 2 \sum_{n=1}^M I_n \cos(n\phi') \quad (5.69)$$

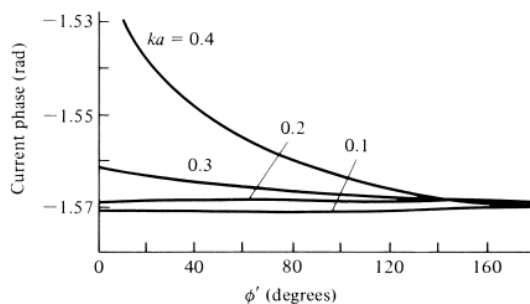
เมื่อ  $\phi'$  คือ ตำแหน่งที่ถูกวัดจากจุดป้อนสัญญาณบนเส้นรอบวงของบ่วงดังแสดงในรูปที่ 5.8

อย่างไรก็ตามการวิเคราะห์สนามที่แผ่ออกจากบ่วงสำหรับกรณีกระแสไม่คงที่ที่มีความซับซ้อนค่อนข้างสูง ซึ่งมีหลายงานวิจัยที่ได้แสดงข้อมูลอยู่ในรูปของกราฟเชิงตัวเลขและผลจากการวัดทดสอบ โดยข้อมูลจากกราฟเหล่านี้สามารถนำไปใช้ในการออกแบบสายอากาศได้ รูปที่ 5.10 เป็นกราฟแสดงขนาดและเฟสของกระแสบนบ่วงเส้นลวดเมื่อกระแสไม่คงที่โดยเป็นฟังก์ชันของ  $\phi'$  (ในหน่วยองศา) เส้นรอบวงของบ่วง ( $C$ ) คือ  $ka = C / \lambda = 0.1, 0.2, 0.3$  และ  $0.4$  และขนาดของเส้นลวดได้ถูกเลือกให้เป็น  $\Omega = 2 \ln(2\pi a / b) = 10$  ซึ่งจากรูปจะเห็นว่าเมื่อ  $ka = 0.1$  กระแสจะค่อนข้างคงที่ แต่เมื่อ  $ka = 0.2$  การเปลี่ยนแปลงของกระแสจะเริ่มมากขึ้นและเพิ่มขึ้นเมื่อ  $ka$  เพิ่มขึ้น ดังนั้นจากผลที่ได้นี้ บ่วงที่มี  $ka > 0.1$  (รัศมีมากกว่า  $0.016\lambda$ ) จะไม่สามารถพิจารณาให้มีกระแสเหมือนบ่วงขนาดเล็กได้

เมื่อเส้นรอบวงของบ่วงมีค่าเข้าใกล้หนึ่งความยาวคลื่นซึ่งได้สมมติให้กระแสมีการเปลี่ยนแปลงจากแบบคงที่เป็นแบบไม่คงที่พบว่า ค่ามากที่สุดของแบบรูปสำหรับสายอากาศบ่วงจะมีการเลื่อนจากระนาบของบ่วง ( $\theta = 90^\circ$ ) ไปอยู่ในแนวแกนของบ่วง ( $\theta = 0^\circ, 180^\circ$ ) รูปที่ 5.11 แสดงสภาพเจาะจงทิศทางของบ่วงในทิศทาง  $\theta = 0^\circ$  เทียบกับเส้นรอบวงของบ่วงจากการใช้การประมาณการกระจายของกระแสในสมการ (5.69) จากรูปจะเห็นได้ว่าสภาพเจาะจงสูงสุดของบ่วงมีค่าเท่ากับ 4.5 dB ที่เส้นรอบวงประมาณ  $1.4\lambda$  สำหรับบ่วงที่มีเส้นรอบวงเท่ากับหนึ่งความยาวคลื่นมักถูกนำไปใช้ในการออกแบบสายอากาศแบบเกลียวจะมีสภาพเจาะจงสูงสุดเท่ากับ 3.4 dB นอกจากนี้ยังพบว่าสภาพเจาะจงทิศทางไม่ขึ้นอยู่กับรัศมีของเส้นลวดถ้าเส้นรอบวงของบ่วงเท่ากับหรือเส้นรอบวงน้อยกว่า  $1.3\lambda$  แต่จะมีความแตกต่างของสภาพเจาะจงทิศทางที่เป็นฟังก์ชันกับรัศมีของเส้นลวดก็ต่อเมื่อเส้นรอบวงของบ่วงมีขนาดใหญ่



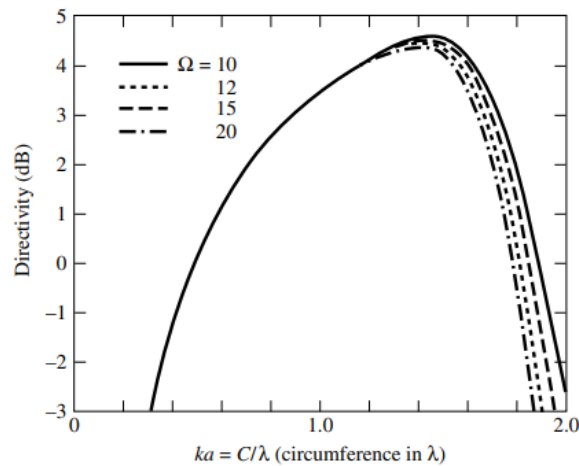
(ก) ขนาด



(ข) เฟส

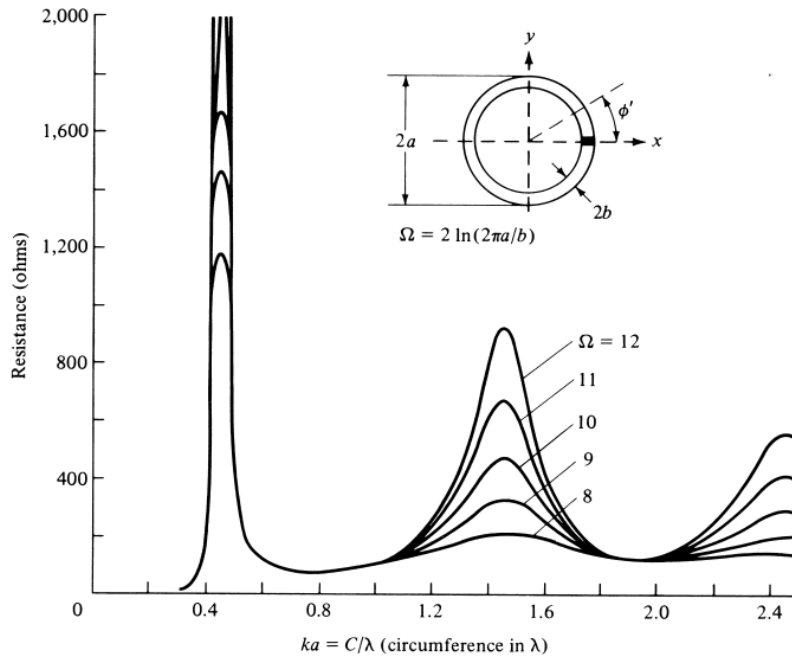
รูปที่ 5.10 ขนาดและเฟสของการกระจายกระแสบนสายอากาศบ่วงวงกลมขนาดเล็ก

(ภาพจาก C. A. Balanis, Antenna Theory: Analysis and Design)

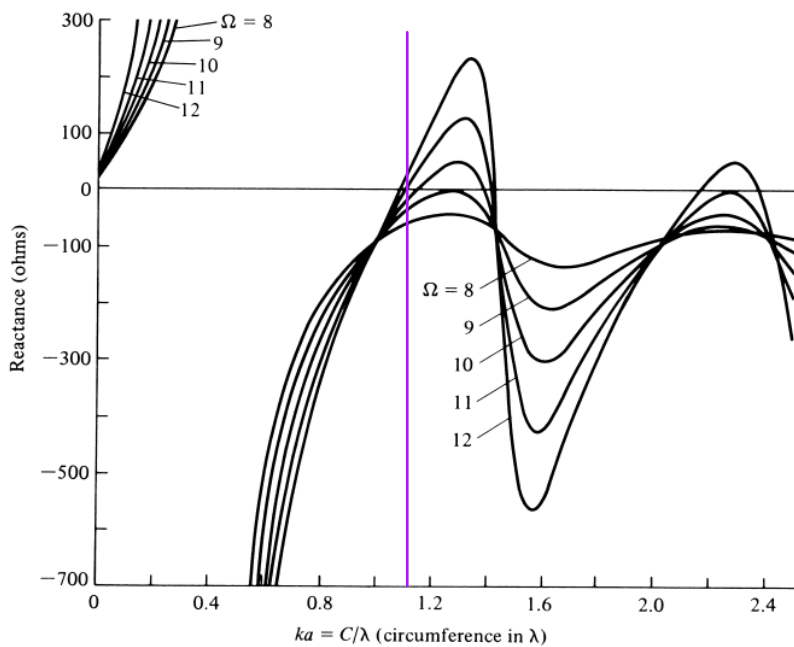


รูปที่ 5.11 สภาพเจาะจงทิศทางของสายอากาศบ่วงวงกลมที่  $\theta = 0^\circ$  เทียบกับขนาดทางไฟฟ้า  
(ภาพจาก C. A. Balanis, Antenna Theory: Analysis and Design)

อิมพีแดนซ์ของบ่วงที่คำนวณจากการใช้การประมาณกระแสในรูปของอนุกรมฟูเรียร์ได้ถูกแสดงในรูปที่ 5.12 โดยความต้านทานอินพุตและรีแอคแตนซ์อินพุตได้ถูกพล็อตเป็นฟังก์ชันกับเส้นรอบวงของบ่วง (ในหน่วยความยาวคลื่น) มีค่าอยู่ระหว่าง  $0 \leq ka = C / \lambda \leq 2.5$  ซึ่งเส้นผ่าศูนย์กลางของเส้นลวดได้ถูกเลือกเป็น  $\Omega = 2 \ln(2\pi a / b) = 8, 9, 10, 11$  และ 12 จากรูปจะเห็นได้ว่าแอนติเรโซแนนซ์แรกจะเกิดที่เส้นรอบวงของบ่วงประมาณ  $\lambda / 2$  นอกจากนี้ยังพบว่าถ้าความหนาของเส้นลวดเพิ่มขึ้นจะทำให้ความถี่เรโซแนนซ์หายไป สำหรับ  $\Omega < 9$  จะเกิดแอนติเรโซแนนซ์เพียงหนึ่งจุดเท่านั้น โดยสายอากาศบ่วงมีค่าความจุ (130  $\Omega$ ) มากกว่าสายอากาศไดโพล และยังพบว่าบ่วงขนาดเล็กจะความเป็นตัวเหนี่ยวนำ (มีค่าความนำ) ในขณะที่ไดโพลขนาดเล็กจะมีความเป็นตัวเก็บประจุ (มีค่าความจุ) แต่ค่าความต้านทานของสายอากาศบ่วงและสายอากาศไดโพลจะใกล้เคียงกันมาก รูปที่ 5.13 แสดงการเปรียบเทียบความต้านทานการแผ่พลังงานและสภาพเจาะจงทิศทางระหว่างสายอากาศบ่วงที่มีการกระจายของกระแสแบบโคไซน์  $I_\phi(\phi) = I_0 \cos \phi$  และสายอากาศบ่วงที่มีกระแสคงที่



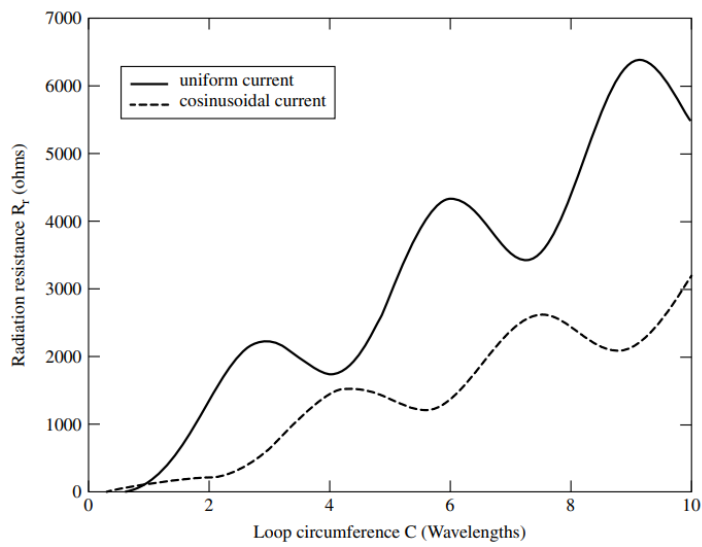
(ก) ความต้านทาน



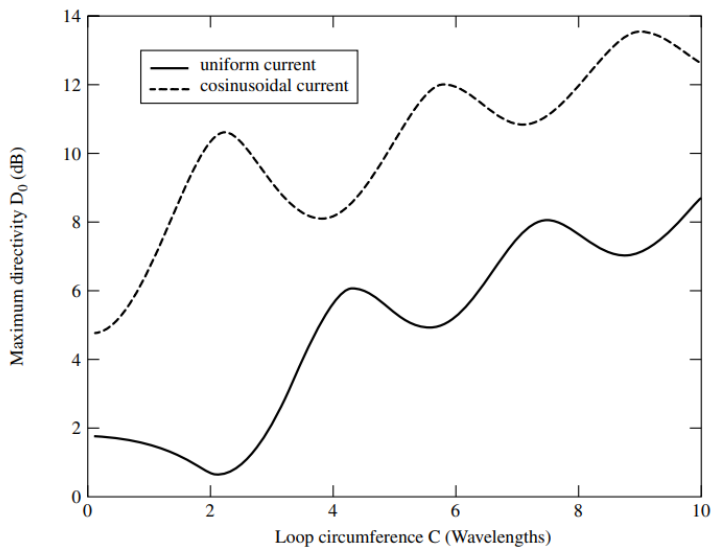
(ข) รีแอกแตนซ์

รูปที่ 5.12 อิมพีแดนซ์อินพุทของบ่วงวงกลม (ภาพจาก C. A. Balanis, Antenna Theory: Analysis and Design)





(ก) ความต้านทานการแผ่พลังงาน ( $R_r$ )



(ข) สภาพเจาะจงทิศทาง ( $D_0$ )

**รูปที่ 5.13** ความต้านทานการแผ่พลังงาน ( $R_r$ ) และสภาพเจาะจงทิศทาง ( $D_0$ ) ของบ่วงวงกลมที่มีกระแสคงที่และกระแสที่กระจายแบบโคไซน์ (ภาพจาก C. A. Balanis, Antenna Theory: Analysis and Design)

#### 5.4.1 กระบวนการในการออกแบบสายอากาศบ่วง

ในการออกแบบสายอากาศบ่วงอยู่บนพื้นฐานของสมการความต้านทานการแผ่พลังงาน (5.25) และ (5.25ก) สมการสภาพเจาะจงทิศทาง (5.28) พื้นที่ประสิทธิผลสูงสุด (5.30) ค่าความจุที่ทำให้เกิดเรโซแนนซ์ (5.33) อิมพีแดนซ์อินพุทที่ทำให้เกิดเรโซแนนซ์ (5.34) และค่าความเหนี่ยวนำ (5.35ก)-(5.35ข) เพื่อให้สายอากาศบ่วงเกิดเรโซแนนซ์ องค์ประกอบตัวเก็บประจุ  $C_r$  ในรูปที่ 5.3 จะต้องถูกเลือกให้เหมาะสมตามสมการ (5.33) จึงจะหักล้างกับส่วนจินตภาพของอิมพีแดนซ์อินพุท  $Z_{in}$

สำหรับบ่วงขนาดใหญ่ที่มีการกระจายของกระแสไม่คงที่ ในการออกแบบจะใช้กราฟในรูปที่ 5.11 เพื่อเลือกสภาพเจาะจงทิศทางในแนวแกนและรูปที่ 5.12 สำหรับอิมพีแดนซ์อินพุท โดยทั่วไปบ่วงที่เกิดเรโซแนนซ์จะต่อตัวเก็บประจุจะถูกเข้าไปขนานหรือตัวเหนี่ยวนำเข้าไปอนุกรมกับบ่วง ทั้งนี้ขึ้นอยู่กับรัศมีของบ่วงและรัศมีของเส้นลวด

**ตัวอย่างที่ 5.7** ออกแบบบ่วงเพื่อให้เกิดเรโซแนนซ์ที่ความถี่ 100 MHz เพื่อให้แบบรูปมีสภาพเจาะจงสูงสุดอยู่ในแนวแกนของบ่วง จงหารัศมีของบ่วงและรัศมีของเส้นลวด (ในหน่วยเมตร) สภาพเจาะจงในแนวแกน (ในหน่วย dB) และองค์ประกอบที่ต้องต่อเข้าไปเพิ่ม (ตัวเก็บประจุต่อขนานหรือตัวเหนี่ยวนำต่ออนุกรม) เพื่อให้สายอากาศบ่วงเกิดเรโซแนนซ์

#### วิธีทำ

การที่แบบรูปจะมีค่าสูงสุดในแนวแกนของบ่วง เส้นรอบวงของบ่วงจะต้องใหญ่เมื่อเทียบกับความยาวคลื่น ดังนั้นการกระจายของกระแสจะไม่คงที่ ซึ่งในสามารถออกแบบสายอากาศได้หลายวิธีเพื่อให้ได้คุณสมบัติของสายอากาศตามที่ต้องการ โดยจะใช้รูปที่ 5.12 ช่วยในการออกแบบสายอากาศ

ยกตัวอย่างในการออกแบบอย่างง่าย ได้เลือกเส้นรอบวงของบ่วงเพื่อให้เกิดเรโซแนนซ์ได้เอง จึงไม่จำเป็นต้องต่อตัวเก็บประจุเข้าไปเพิ่มเพื่อให้เกิดเรโซแนนซ์ ดังนั้นจากรูปที่ 5.12(ข) และเลือก  $\Omega = 12$  เส้นรอบวงของบ่วงจะมีค่าใกล้เคียงกับ  $1.125\lambda$  เนื่องจากความยาวคลื่นในอวกาศว่างที่ความถี่ 100 MHz คือ  $3 \text{ meters}$  ~~300~~ เมตร ดังนั้นเส้นรอบวงของบ่วงคือ

$$\text{เส้นรอบวงของบ่วง} \simeq 1.125(3) = 3.375 \text{ เมตร}$$

โดยรัศมีของเส้นลวดหาได้คือ

$$a = \frac{3.375}{2\pi} = 0.5371 \text{ เมตร}$$

รัศมีของเส้นลวดสามารถหาได้จาก

$$\Omega = 12 = 2 \ln \left( \frac{2\pi a}{b} \right)$$

หรือ

$$\frac{a}{b} = 64.2077$$

ดังนั้นรัศมีของเส้นลวดคือ

$$b = \frac{a}{64.2077} = \frac{0.5371}{64.2077} = 0.8365 \text{ cm} = 8.365 \times 10^{-3} \text{ m}$$

จากรูป 5.11 สภาพเจาะจงทิศทางในแนวแกนที่ได้จากการออกแบบนี้มีค่าประมาณ 3.6 dB และจากรูปที่ 5.12(ก) อิมพีแดนซ์อินพุตประมาณได้คือ

$$Z_{in} = Z'_{in} \simeq 840 \Omega$$

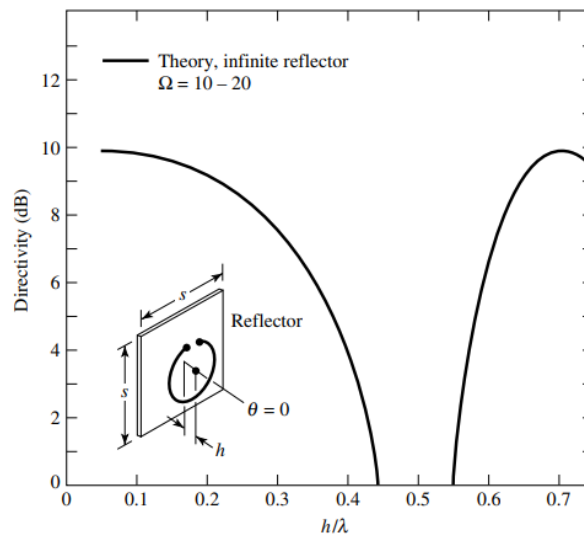
เนื่องจากสายอากาศได้ถูกออกแบบให้เกิดเรโซแนนซ์ได้เอง จึงไม่จำเป็นต้องต่อองค์ประกอบอื่น ๆ เข้าไปเพิ่มกับบ่วงที่ทำหน้าที่เป็นตัวแผ่พลังงาน

#### 5.4.2 ผลกระทบของกราวด์และความโค้งของผิวโลกต่อบ่วงวงกลม

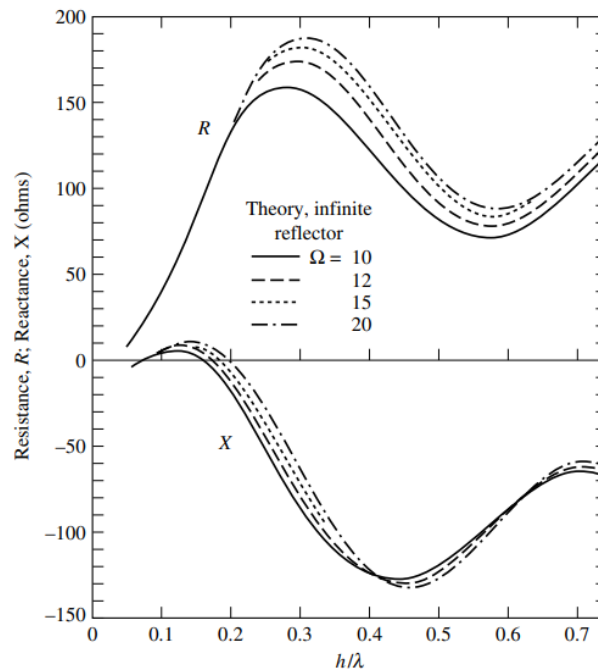
เมื่อสายอากาศบ่วงอยู่ในบริเวณตัวกลางที่มีการสูญเสียจะส่งผลกระทบต่อประสิทธิภาพของสายอากาศ ซึ่งพารามิเตอร์ของสายอากาศที่มีผลกระทบคือ แบบรูป สภาพเจาะจงทิศทาง อิมพีแดนซ์อินพุต และประสิทธิภาพของสายอากาศ ซึ่งปริมาณของพลังงานความร้อนจากตัวกลางจะส่งผลโดยตรงต่อประสิทธิภาพของสายอากาศ

เมื่อวางสายอากาศบ่วงบนตัวสะท้อนจะทำให้แบบรูปของสายอากาศบ่วงเป็นแบบชี้ทิศทางและมีอัตราขยายเพิ่มขึ้น เริ่มต้นได้ทดสอบการวางสายอากาศบ่วงวงกลมที่มีเส้นรอบวงเท่ากับหนึ่งความยาวคลื่น ( $ka = 1$ ) วางแนวนอนที่ความสูง  $h$  เหนือตัวนำไฟฟ้าสมบูรณ์ขนาดอนันต์ รูปที่ 5.14 แสดง

ความสัมพันธ์ระหว่างระยะความสูงของบ่วงจากระนาบตัวนำไฟฟ้าสมบูรณ์กับสภาพเจาะจงทิศทางสำหรับ  $10 < \Omega < 20$  ซึ่งจากรูปจะเห็นได้ว่าสภาพเจาะจงทิศทางจะไม่ขึ้นอยู่กับรัศมีเส้นลวดของบ่วง แต่จะเป็นฟังก์ชันกับระยะความสูง  $h$  เท่านั้น โดย  $0.05\lambda < h < 0.2\lambda$  และ  $0.65\lambda < h < 0.75\lambda$  จะมีค่าสภาพเจาะจงทิศทางประมาณ 9 dB รูปที่ 5.15 แสดงอิมพีแดนซ์ของบ่วงวงกลมที่มีเส้นรอบวงเท่ากับหนึ่งความยาวคลื่นที่เป็นฟังก์ชันกับความสูง  $h$  จากตัวสะท้อน ซึ่งจะเห็นรัศมีเส้นลวดของบ่วงเมื่อ  $10 < \Omega < 20$  ไม่ได้ส่งผลต่อสภาพเจาะจงทิศทางแต่จะส่งผลต่ออิมพีแดนซ์อินพุทของสายอากาศ นอกจากนี้ยังพบว่าเมื่อใช้สายอากาศบ่วงที่เรโซแนนซ์ได้ด้วยตัวเองวางใกล้กับรอยต่อของตัวกลางจะทำให้เกิดการเปลี่ยนแปลงของค่าแอดมิตแตนซ์อินพุทโดยเป็นฟังก์ชันกับความสูงของสายอากาศและคุณสมบัติทางไฟฟ้าของตัวกลาง สิ่งนี้ชี้ให้เห็นว่าสายอากาศบ่วงที่เรโซแนนซ์ได้ด้วยตัวเองสามารถนำไปใช้เป็นเซ็นเซอร์ได้อย่างมีประสิทธิภาพและยังสามารถใช้ในการช่วยหาคุนสมบัติทางไฟฟ้าของโครงสร้างทางธรณีวิทยาที่ไม่ทราบคุนสมบัติได้อีกด้วย



**รูปที่ 5.14** สภาพเจาะจงทิศทางของสายอากาศบ่วงวงกลม  $C = ka = 1$  ที่มุม  $\theta = 0^\circ$  เทียบกับระยะห่างจากตัวสะท้อน  $h / \lambda$  เป็นกราฟเชิงทฤษฎีเมื่อตัวสะท้อนเป็นระนาบอนันต์ (ภาพจาก C. A. Balanis, Antenna Theory: Analysis and Design)



รูปที่ 5.15 อิมพีแดนซ์อินพุทของสายอากาศบ่วงวงกลม  $C = ka = 1$  เทียบกับระยะห่างจากตัวสะท้อน  $h / \lambda$  เป็นกราฟเชิงทฤษฎีเมื่อตัวสะท้อนเป็นระนาบอนันต์ (ภาพจาก C. A. Balanis, Antenna Theory: Analysis and Design)

### คำถามท้ายบทที่ 5

5.1 จงหาความต้านทานการแผ่พลังงานของบ่วงจำนวน 20 รอบ เส้นผ่าศูนย์กลางของบ่วงเท่ากับ 1 เมตร ดำเนินงานที่ความถี่ 10 MHz เมื่อกำหนดให้ความต้านทานการสูญเสียของบ่วงหนึ่งรอบเท่ากับ 1 โอห์ม และคำนวณหาประสิทธิภาพการแผ่พลังงานของสายอากาศ สมมติให้การกระจายกระแสบนบ่วงมีค่าคงที่ เฉลี่ย 32.16%

5.2 บ่วงวงกลมมีรัศมีของบ่วงเท่ากับ  $\lambda / 30$  และรัศมีของเส้นลวดเท่ากับ  $\lambda / 1000$  ถูกใช้เป็นสายอากาศสำหรับรับ-ส่งสัญญาณระบบวิทยุที่ความถี่ 10 MHz เส้นลวดของบ่วงทำจากทองแดงที่มีค่าสภาพนำไฟฟ้าเท่ากับ  $5.7 \times 10^7$  S/m สมมติให้สายอากาศแผ่พลังงานในอวกาศว่าง จงหา

- (ก) ความต้านทานการแผ่พลังงานของบ่วง
- (ข) ความต้านทานการสูญเสียของบ่วง (สมมติให้มีค่าเหมือนกับเส้นลวดตรง)
- (ค) ความต้านทานอินพุท

(ง) อิมพีแดนซ์อินพุท

(จ) ประสิทธิภาพการแผ่พลังงาน

5.3 บ่วงวงกลมเรโซแนนซ์จำนวน  $N$  รอบ มีการกระจายของกระแสที่มีเส้นรอบวงเท่ากับ  $\lambda / 4$  ได้ถูกป้อนสัญญาณด้วยสายนำสัญญาณเส้นคู่ที่ไม่มีการสูญเสียและมีอิมพีแดนซ์คุณลักษณะของสายเท่ากับ  $300 \Omega$  โดยไม่คิดผลกระทบเนื่องจากความใกล้ชิดกันของบ่วงแต่ละรอบ จงหา

(ก) จงหาจำนวนรอบที่เป็นเลขจำนวนเต็มที่ทำให้อิมพีแดนซ์อินพุทของสายอากาศบ่วงใกล้เคียง  $300 \Omega$  มากที่สุด

(ข) อิมพีแดนซ์อินพุทของสายอากาศ

(ค) สัมประสิทธิ์การสะท้อน

(ง) VSWR ในสายนำสัญญาณ

5.4 จงหาประสิทธิภาพการแผ่พลังงานของบ่วงวงกลมหนึ่งรอบและสี่รอบที่มีรัศมีของบ่วงเท่ากับ  $\lambda / (10\pi)$  ดำเนินงานที่ความถี่  $10 \text{ MHz}$  รัศมีของเส้นลวดเท่ากับ  $10^{-3}\lambda$  ระยะห่างระหว่างขดลวดเท่ากับ  $3 \times 10^{-3}\lambda$  สมมติให้บ่วงทำจากเส้นลวดทองแดงที่มีค่าสภาพนำไฟฟ้าเท่ากับ  $5.7 \times 10^7 \text{ S/m}$  และสายอากาศแผ่พลังงานในอวกาศว่าง

5.5 บ่วงวงกลมเรโซแนนซ์จำนวนหนึ่งรอบมีรัศมีของบ่วงเท่ากับ  $\lambda / 8\pi$  ทำจากเส้นลวดทองแดงที่มีรัศมีของเส้นลวดเท่ากับ  $10^{-4}\lambda / 2\pi$  และมีค่าสภาพนำไฟฟ้าเท่ากับ  $5.7 \times 10^7 \text{ S/m}$  ดำเนินงานที่ความถี่  $100 \text{ MHz}$  ถ้าสมมติให้การกระจายกระแสบนบ่วงคงที่ จงหา

(ก) ประสิทธิภาพการแผ่พลังงาน (สมมติให้เส้นลวดตรง)

(ข) อัตราขยายสูงสุดของสายอากาศ (ไม่มีหน่วยและหน่วย dB)

5.6 บ่วงวงกลมเรโซแนนซ์จำนวนหกรอบที่มีระยะห่างระหว่างบ่วงใกล้เคียงกันมาก สายอากาศดำเนินการที่ความถี่  $50 \text{ MHz}$  มีรัศมีของบ่วงเท่ากับ  $\lambda / 30$  และได้เชื่อมต่อกับสายนำสัญญาณที่มีอิมพีแดนซ์คุณลักษณะเท่ากับ  $50 \Omega$  โดยรัศมีของเส้นลวดเท่ากับ  $\lambda / 300$  มีค่าสภาพนำไฟฟ้าคือ  $\sigma = 5.7 \times 10^7 \text{ S/m}$  และมีระยะห่างระหว่างบ่วงแต่ละรอบเท่ากับ  $\lambda / 100$  จงหา

(ก) สภาพเจาะจงทิศทางของสายอากาศ (ในหน่วย dB)

- (ข) ประสิทธิภาพการแผ่พลังงานเมื่อคิดผลกระทบเนื่องจากความใกล้ชิดของขดลวด
- (ค) ประสิทธิภาพการสะท้อน
- (ง) อัตราขยายของสายอากาศ (ในหน่วย dB)

5.7 จงหาประสิทธิภาพการแผ่พลังงาน (เปอร์เซ็นต์) ของสายอากาศบ่วงวงกลมแปดรอบดำเนินงานที่ความถี่ 30 MHz รัศมีของบ่วงแต่ละรอบคือ  $a = 15$  ซม. รัศมีของเส้นลวดคือ  $b = 1$  มม. และระยะห่างระหว่างขดลวดคือ  $2c = 3.6$  มม. สมมติให้เส้นลวดทำจากทองแดง ( $\sigma = 5.7 \times 10^7$  S/m) สายอากาศแผ่พลังงานในอวกาศว่าง โดยพิจารณาผลกระทบจากความใกล้ชิดกันของขดลวดด้วย

5.8 ออกแบบบ่วงวงกลมที่มีกระแสคงที่ เพื่อให้ความเข้มสนามไฟฟ้าหายไปที่มุม  $\theta = 0^\circ$  ( $\theta = 180^\circ$ ) และ  $\theta = 90^\circ$  เท่านั้น จงหา

- (ก) รัศมีของบ่วง
- (ข) ความต้านทานการแผ่พลังงาน
- (ค) สภาพเจาะจงทิศทาง

5.9 บ่วงวงกลมเล็กจำนวนหนึ่งรอบมีรัศมี  $a = 0.05\lambda$  ดำเนินงานที่ความถี่ 300 MHz สมมติให้รัศมีของเส้นลวดเท่ากับ  $10^{-4}\lambda$  จงหา

- (ก) ความต้านทานการสูญเสีย
- (ข) ความต้านทานการแผ่พลังงาน
- (ค) ค่าความเหนี่ยวนำของบ่วง

จงแสดงให้เห็นว่ารีแอกแตนซ์ความเหนี่ยวนำของบ่วงมีค่ามากกว่าความต้านทานการสูญเสีย และความต้านทานการแผ่พลังงาน เมื่อบ่วงมีขนาดเล็กจนเหมือนกับเป็นตัวเหนี่ยวนำ

5.10 บ่วงวงกลมจำนวนหนึ่งรอบได้ถูกใช้ป็นองค์ประกอบในการแผ่พลังงานในย่านความถี่ VHF ( $f = 100$  MHz) ในระบบสื่อสาร บ่วงได้ถูกสร้างขึ้นจากตัวนำไฟฟ้าสมบูรณ์ มีเส้นรอบวงของบ่วงคือ  $C = \lambda / 20$  รัศมีของเส้นลวดคือ  $\lambda / 400$  เมื่อกำหนดให้  $\sigma = 5.7 \times 10^7$  S/m จงหา

- (ก) ความต้านทานอินพุทของเส้นลวดหนึ่งรอบ
- (ข) รีแอกแตนซ์อินพุทของบ่วง (ความเหนี่ยวนำหรือความจุ)

(ค) ค่าความเหนี่ยวนำ (หน่วยเฮนรี) หรือค่าความจุ (หน่วยฟารัด) ควรเป็นเท่าใด ถ้าองค์ประกอบของตัวเหนี่ยวนำหรือตัวเก็บประจุได้ถูกนำไปต่ออนุกรมเข้ากับบ่วงที่ตำแหน่งจุดบ่อนสัญญาณเพื่อให้เกิดเรโซแนนซ์ที่ความถี่ 100 MHz

5.11 บ่วงวงกลมที่มีการกระจายของกระแสไม่คงที่มีเส้นรอบวงของบ่วงเท่ากับ  $1.4\lambda$  ถูกต่อกับสายที่มีอิมพีแดนซ์เท่ากับ  $300 \Omega$  สมมติให้รัศมีของเส้นลวดเท่ากับ  $1.555 \times 10^{-2} \lambda$  จงหา

- (ก) อิมพีแดนซ์อินพุทของบ่วง
- (ข) VSWR ของระบบ
- (ค) จะต้องต่อตัวเหนี่ยวนำหรือตัวเก็บประจุ (พร้อมหาค่าความเหนี่ยวนำหรือค่าความจุ) คร่อมกับตำแหน่งจุดบ่อนสัญญาณเพื่อให้บ่วงเกิดเรโซแนนซ์ที่ความถี่ 100 MHz